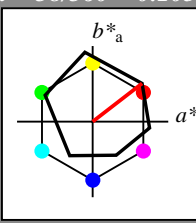


Eingabe: Farbmatisches Reflexions-System ORS18

für Bunton $h^* = lab^*h = 38/360 = 0.105$
 lab^*tch und lab^*nch

D65: Bunton O
 LCH*Ma: 48 83 38
 rgb*Ma: 1.0 0.0 0.0

Dreiecks-Helligkeit



ORS18; adaptierte CIELAB-Daten

	$L^*=L^*_a$	a^*_a	b^*_a	$C^*_{ab,a}$	$h^*_{ab,a}$
OMa	47.94	65.37	50.52	82.62	38
YMa	90.37	-10.27	91.77	92.34	96
LMa	50.9	-62.79	34.95	71.87	151
CMa	58.62	-30.35	-45.01	54.3	236
VMa	25.71	31.11	-44.42	54.24	305
MMa	48.13	75.27	-8.35	75.73	354
NMa	18.01	0.0	0.0	0.0	0
WMa	95.41	0.0	0.0	0.0	0
RCIE	39.92	58.66	26.98	64.56	25
JCIE	81.26	-2.17	67.76	67.79	92
GCIE	52.23	-42.26	11.75	43.87	164
BCIE	30.57	1.15	-46.84	46.87	271

%Regularität

$g^*_{H,rel} = 57$

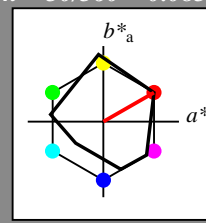
$g^*_{C,rel} = 59$

Ausgabe: Farbmatisches Reflexions-System MRS18

für Bunton $h^* = lab^*h = 30/360 = 0.083$
 lab^*tch und lab^*nch

D65: Bunton R
 LCH*Ma: 50 77 30
 rgb*Ma: 1.0 0.0 0.0

Dreiecks-Helligkeit



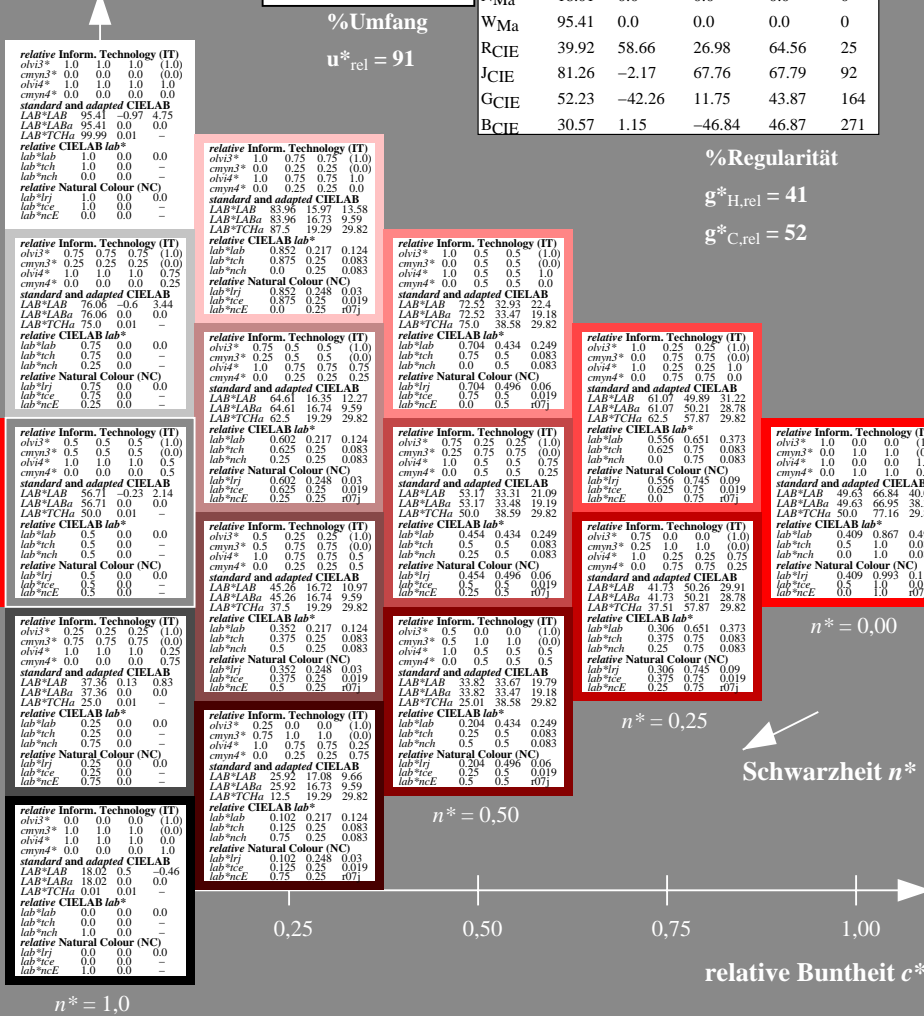
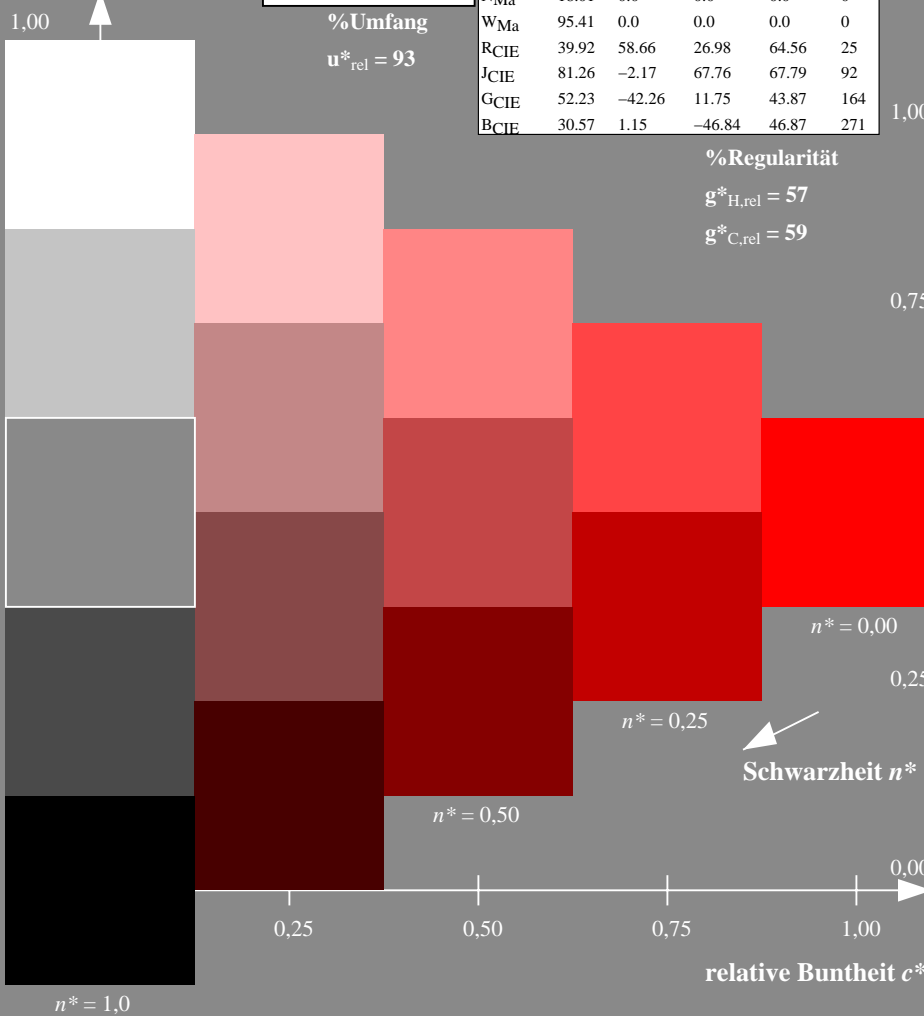
MRS18; adaptierte CIELAB-Daten

	$L^*=L^*_a$	a^*_a	b^*_a	$C^*_{ab,a}$	$h^*_{ab,a}$
RMa	49.63	66.96	38.37	77.18	30
JMa	90.7	-6.36	88.75	88.98	94
GMa	52.11	-69.73	9.44	70.37	172
G50BMa	45.03	-36.57	-28.47	46.36	218
BMa	36.65	23.19	-63.05	67.18	290
B50RMa	34.94	57.17	-44.26	72.31	322
NMa	18.01	0.0	0.0	0.0	0
WMa	95.41	0.0	0.0	0.0	0
RCIE	39.92	58.66	26.98	64.56	25
JCIE	81.26	-2.17	67.76	67.79	92
GCIE	52.23	-42.26	11.75	43.87	164
BCIE	30.57	1.15	-46.84	46.87	271

%Regularität

$g^*_{H,rel} = 41$

$g^*_{C,rel} = 52$



TG400-7, 5 stufige Reihen für konstanten CIELAB Bunton $38/360 = 0.105$ (links)

5 stufige Reihen für konstanten CIELAB Bunton $30/360 = 0.083$ (rechts)

BAM-Prüfvorlage TG40; Farbmatisches System ORS18 & MRS18input: $olv^* setrgbcolor$
 D65: 5stufige Farbreihen und Koordinaten-Daten für 10 Bunttöneoutput: $olv^* setrgbcolor / w^* setgray$

Siehe ähnliche Dateien: <http://www.ps.bam.de/TG40/>
 Technische Information: <http://www.ps.bam.de/Version 2.1, io=1,1, CIEXYZ>

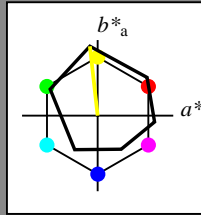
BAM-Registrierung: 20060101-TG40/10L/L40G00FP.PS/.PDF BAM-Material: Code=th4ta
 Anwendung für Beurteilung und Messung von Drucker- oder Monitorssystemen, Yr=2.5, XYZ
 /TG40/ Form 1/10, Serie: 1/1, Seite: 1
 Schenck hung 1

Eingabe: Farbmatisches Reflexions-System ORS18

für Bunton $h^* = lab^*h = 96/360 = 0.268$
 lab^*tch und lab^*nch

D65: Bunton Y
 LCH*Ma: 90 92 96
 rgb*Ma: 1.0 1.0 0.0

Dreiecks-Helligkeit



ORS18; adaptierte CIELAB-Daten

	$L^*=L^*_a$	a^*_a	b^*_a	$C^*_{ab,a}$	$h^*_{ab,a}$
OMa	47.94	65.37	50.52	82.62	38
YMa	90.37	-10.27	91.77	92.34	96
LMa	50.9	-62.79	34.95	71.87	151
CMa	58.62	-30.35	-45.01	54.3	236
VMa	25.71	31.11	-44.42	54.24	305
MMa	48.13	75.27	-8.35	75.73	354
NMa	18.01	0.0	0.0	0.0	0
WMa	95.41	0.0	0.0	0.0	0
RCIE	39.92	58.66	26.98	64.56	25
JCIE	81.26	-2.17	67.76	67.79	92
GCIE	52.23	-42.26	11.75	43.87	164
BCIE	30.57	1.15	-46.84	46.87	271

%Regularität

$g^*_{H,rel} = 57$

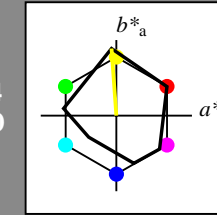
$g^*_{C,rel} = 59$

Ausgabe: Farbmatisches Reflexions-System MRS18

für Bunton $h^* = lab^*h = 94/360 = 0.261$
 lab^*tch und lab^*nch

D65: Bunton J
 LCH*Ma: 91 89 94
 rgb*Ma: 1.0 1.0 0.0

Dreiecks-Helligkeit



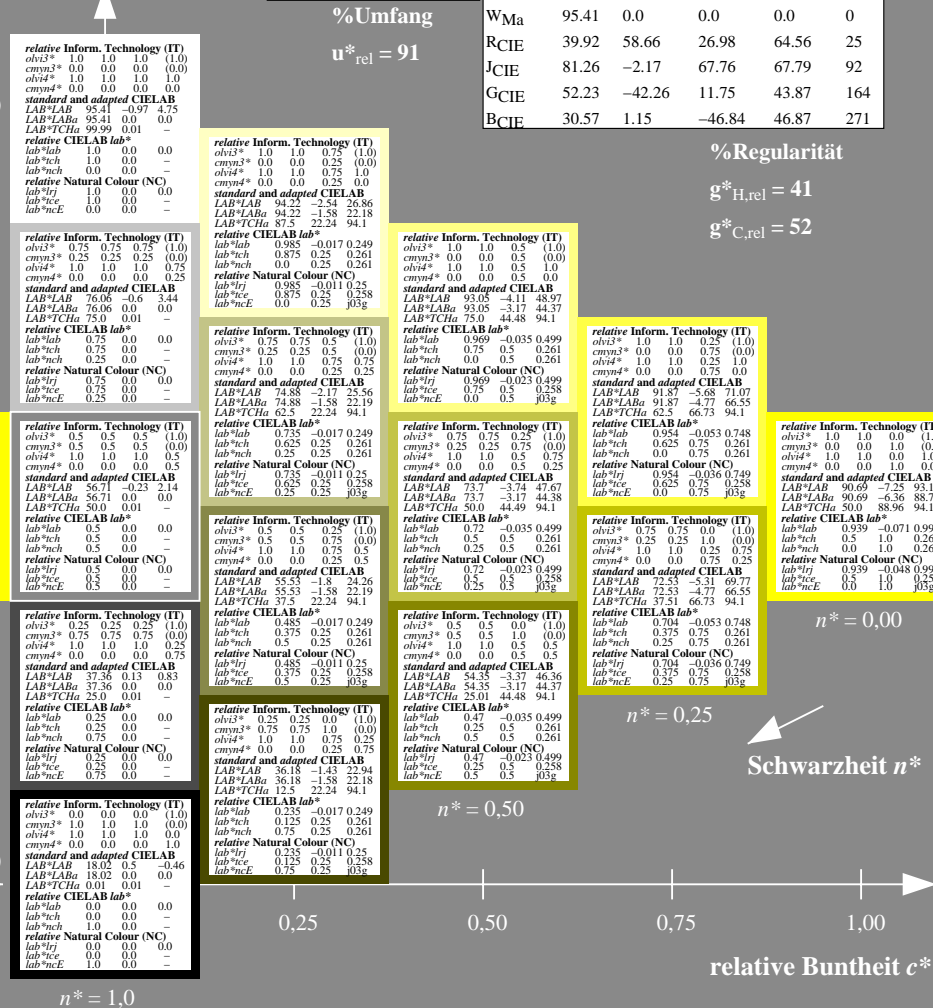
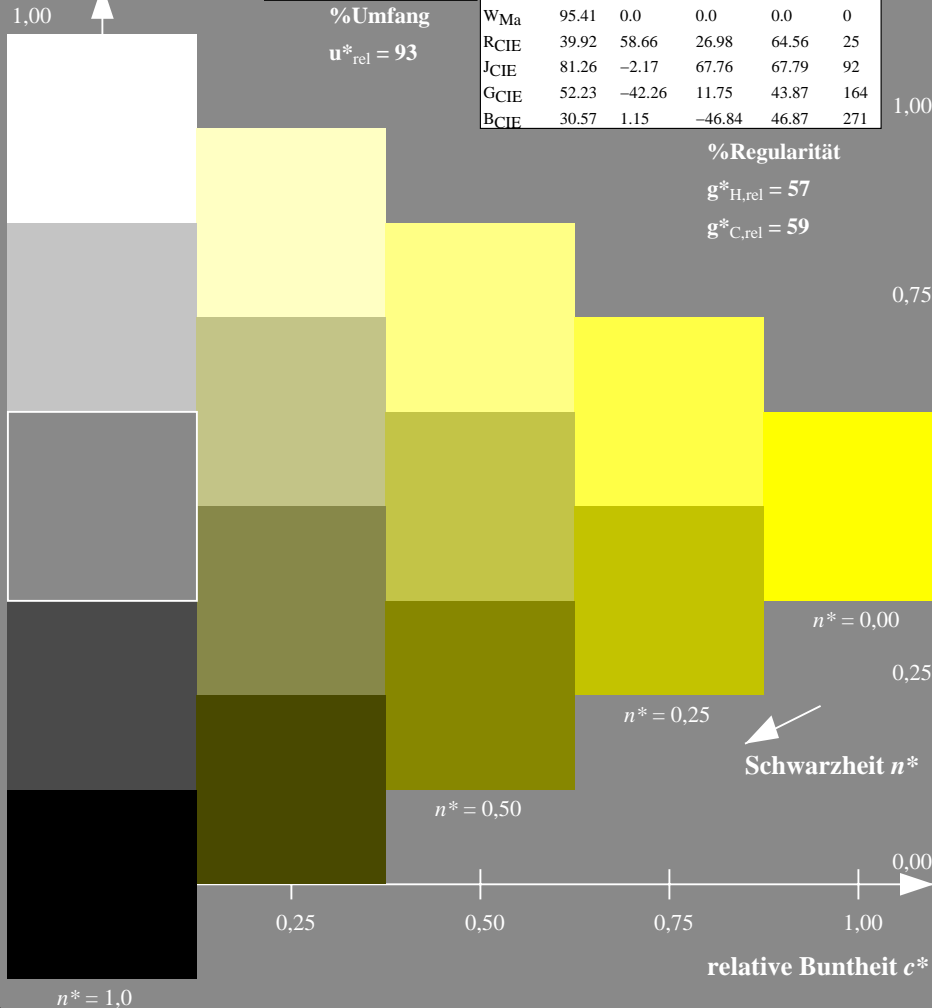
MRS18; adaptierte CIELAB-Daten

	$L^*=L^*_a$	a^*_a	b^*_a	$C^*_{ab,a}$	$h^*_{ab,a}$
RMa	49.63	66.96	38.37	77.18	30
JMa	90.7	-6.36	88.75	88.98	94
GMa	52.11	-69.73	9.44	70.37	172
G50BMa	45.03	-36.57	-28.47	46.36	218
BMa	36.65	23.19	-63.05	67.18	290
B50RMa	34.94	57.17	-44.26	72.31	322
NMa	18.01	0.0	0.0	0.0	0
WMa	95.41	0.0	0.0	0.0	0
RCIE	39.92	58.66	26.98	64.56	25
JCIE	81.26	-2.17	67.76	67.79	92
GCIE	52.23	-42.26	11.75	43.87	164
BCIE	30.57	1.15	-46.84	46.87	271

%Regularität

$g^*_{H,rel} = 41$

$g^*_{C,rel} = 52$



TG400-7, 5 stufige Reihen für konstanten CIELAB Bunton $96/360 = 0.268$ (links)

5 stufige Reihen für konstanten CIELAB Bunton $94/360 = 0.261$ (rechts)

BAM-Prüfvorlage TG40; Farbmatisches System ORS18 & MRS18input: $olv^* setrgbcolor$

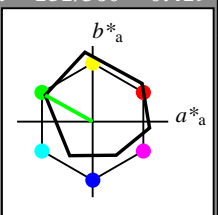
D65: 5stufige Farbreihen und Koordinaten-Daten für 10 Bunttöneoutput: $olv^* setrgbcolor / w^* setgray$

Eingabe: Farbmatisches Reflexions-System ORS18

für Buntton $h^* = lab^*h = 151/360 = 0.419$
 lab^*tch und lab^*nch

D65: Buntton L
 LCH*Ma: 51 72 151
 rgb*Ma: 0.0 1.0 0.0

Dreiecks-Helligkeit



ORS18; adaptierte CIELAB-Daten

	$L^*=L^*_a$	a^*_a	b^*_a	$C^*_{ab,a}$	$h^*_{ab,a}$
OMa	47.94	65.37	50.52	82.62	38
YMa	90.37	-10.27	91.77	92.34	96
LMa	50.9	-62.79	34.95	71.87	151
CMa	58.62	-30.35	-45.01	54.3	236
VMa	25.71	31.11	-44.42	54.24	305
MMa	48.13	75.27	-8.35	75.73	354
NMa	18.01	0.0	0.0	0.0	0
WMa	95.41	0.0	0.0	0.0	0
RCIE	39.92	58.66	26.98	64.56	25
JCIE	81.26	-2.17	67.76	67.79	92
GCIE	52.23	-42.26	11.75	43.87	164
BCIE	30.57	1.15	-46.84	46.87	271

%Regularität

$g^*_{H,rel} = 57$

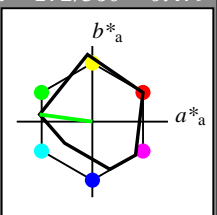
$g^*_{C,rel} = 59$

Ausgabe: Farbmatisches Reflexions-System MRS18

für Buntton $h^* = lab^*h = 172/360 = 0.479$
 lab^*tch und lab^*nch

D65: Buntton G
 LCH*Ma: 52 70 172
 rgb*Ma: 0.0 1.0 0.0

Dreiecks-Helligkeit



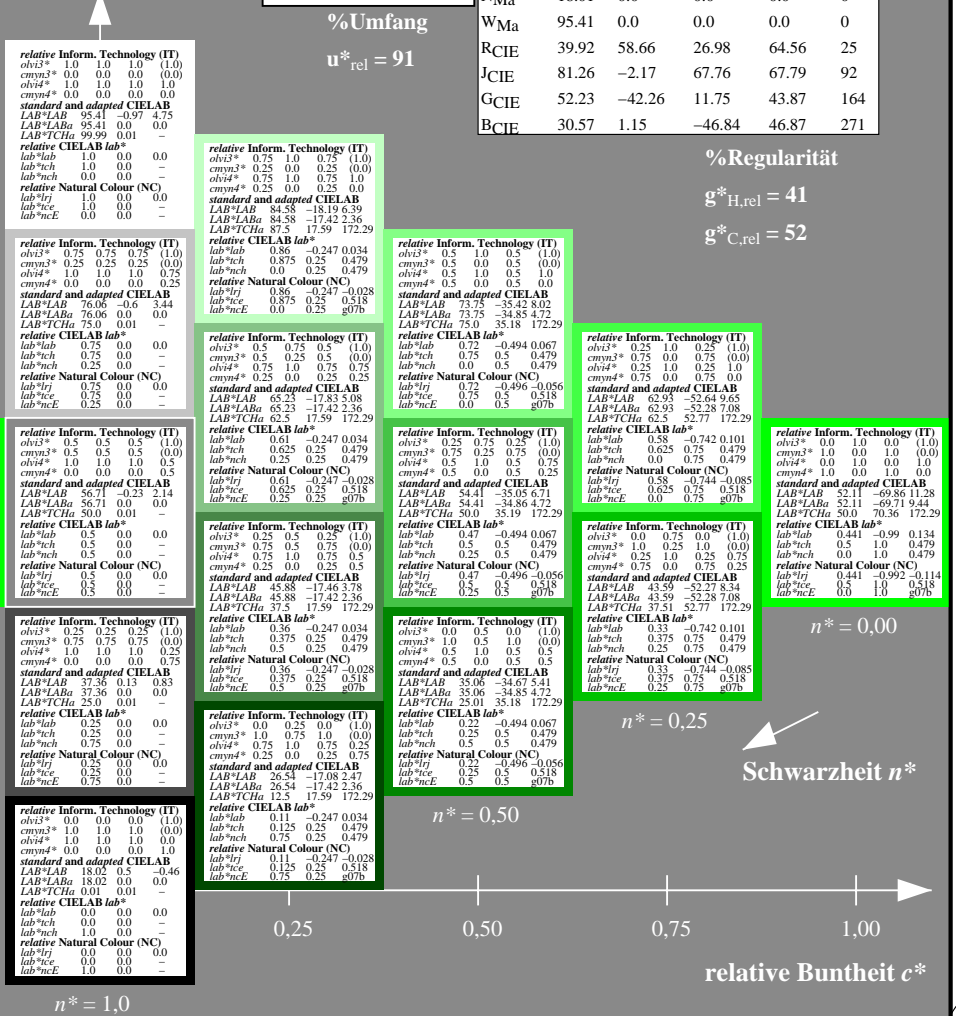
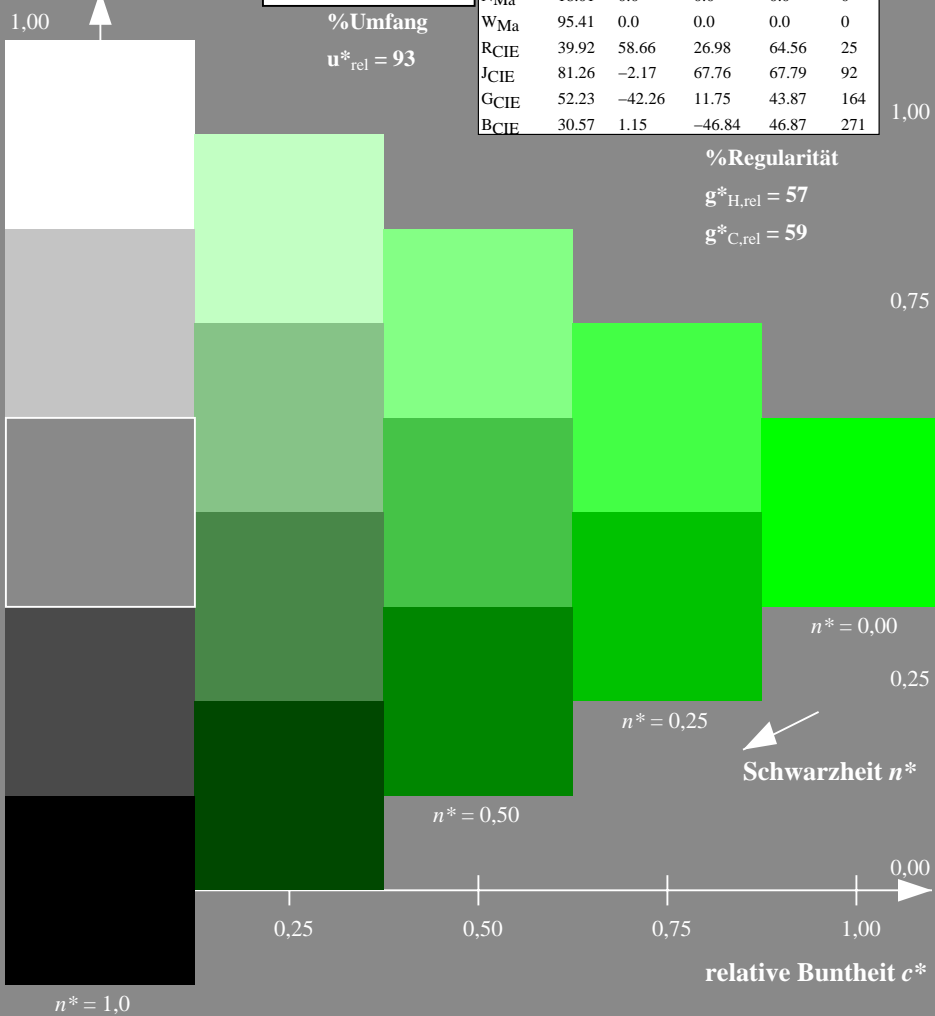
MRS18; adaptierte CIELAB-Daten

	$L^*=L^*_a$	a^*_a	b^*_a	$C^*_{ab,a}$	$h^*_{ab,a}$
RMa	49.63	66.96	38.37	77.18	30
JMa	90.7	-6.36	88.75	88.98	94
GMa	52.11	-69.73	9.44	70.37	172
G50BMa	45.03	-36.57	-28.47	46.36	218
BMa	36.65	23.19	-63.05	67.18	290
B50RMa	34.94	57.17	-44.26	72.31	322
NMa	18.01	0.0	0.0	0.0	0
WMa	95.41	0.0	0.0	0.0	0
RCIE	39.92	58.66	26.98	64.56	25
JCIE	81.26	-2.17	67.76	67.79	92
GCIE	52.23	-42.26	11.75	43.87	164
BCIE	30.57	1.15	-46.84	46.87	271

%Regularität

$g^*_{H,rel} = 41$

$g^*_{C,rel} = 52$



TG400-7, 5stufige Reihen für konstanten CIELAB Buntton 151/360 = 0.419 (links)

5stufige Reihen für konstanten CIELAB Buntton 172/360 = 0.479 (rechts)

BAM-Prüfvorlage TG40; Farbmatrik-Systeme ORS18 & MRS18input: $olv^* setrgbcolor$
 D65: 5stufige Farbreihen und Koordinaten-Daten für 10 Bunttöneoutput: $olv^* setrgbcolor / w^* setgray$

Siehe ähnliche Dateien: <http://www.ps.bam.de/TG40/>
 Technische Information: <http://www.ps.bam.de> Version 2.1, io=1.1, CIEXYZ

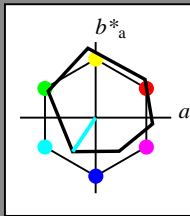
BAM-Registrierung: 20060101-TG40/10L/L40G02FP.PS/.PDF BAM-Material: Code=th4ta
 Anwendung für Beurteilung und Messung von Drucker- oder Monitorssystemen, Yr=2.5, XYZ
 /TG40/ Form 3/10, Serie: 1/1, Seite: 3
 Seitenhang 3

Eingabe: Farbmatisches Reflexions-System ORS18

für Buntton $h^* = lab^*h = 236/360 = 0.656$
 lab^*tch und lab^*nch

D65: Buntton C
 LCH*Ma: 59 54 236
 rgb*Ma: 0.0 1.0 1.0

Dreiecks-Helligkeit



ORS18; adaptierte CIELAB-Daten

	$L^*=L^*_a$	a^*_a	b^*_a	$C^*_{ab,a}$	$h^*_{ab,a}$
OMa	47.94	65.37	50.52	82.62	38
YMa	90.37	-10.27	91.77	92.34	96
LMa	50.9	-62.79	34.95	71.87	151
CMa	58.62	-30.35	-45.01	54.3	236
VMa	25.71	31.11	-44.42	54.24	305
MMa	48.13	75.27	-8.35	75.73	354
NMa	18.01	0.0	0.0	0.0	0
WMa	95.41	0.0	0.0	0.0	0
RCIE	39.92	58.66	26.98	64.56	25
JCIE	81.26	-2.17	67.76	67.79	92
GCIE	52.23	-42.26	11.75	43.87	164
BCIE	30.57	1.15	-46.84	46.87	271

%Regularität

$g^*_{H,rel} = 57$

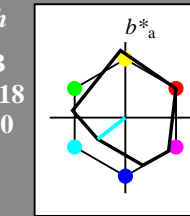
$g^*_{C,rel} = 59$

Ausgabe: Farbmatisches Reflexions-System MRS18

für Buntton $h^* = lab^*h = 218/360 = 0.605$
 lab^*tch und lab^*nch

D65: Buntton G50B
 LCH*Ma: 45 46 218
 rgb*Ma: 0.0 1.0 1.0

Dreiecks-Helligkeit



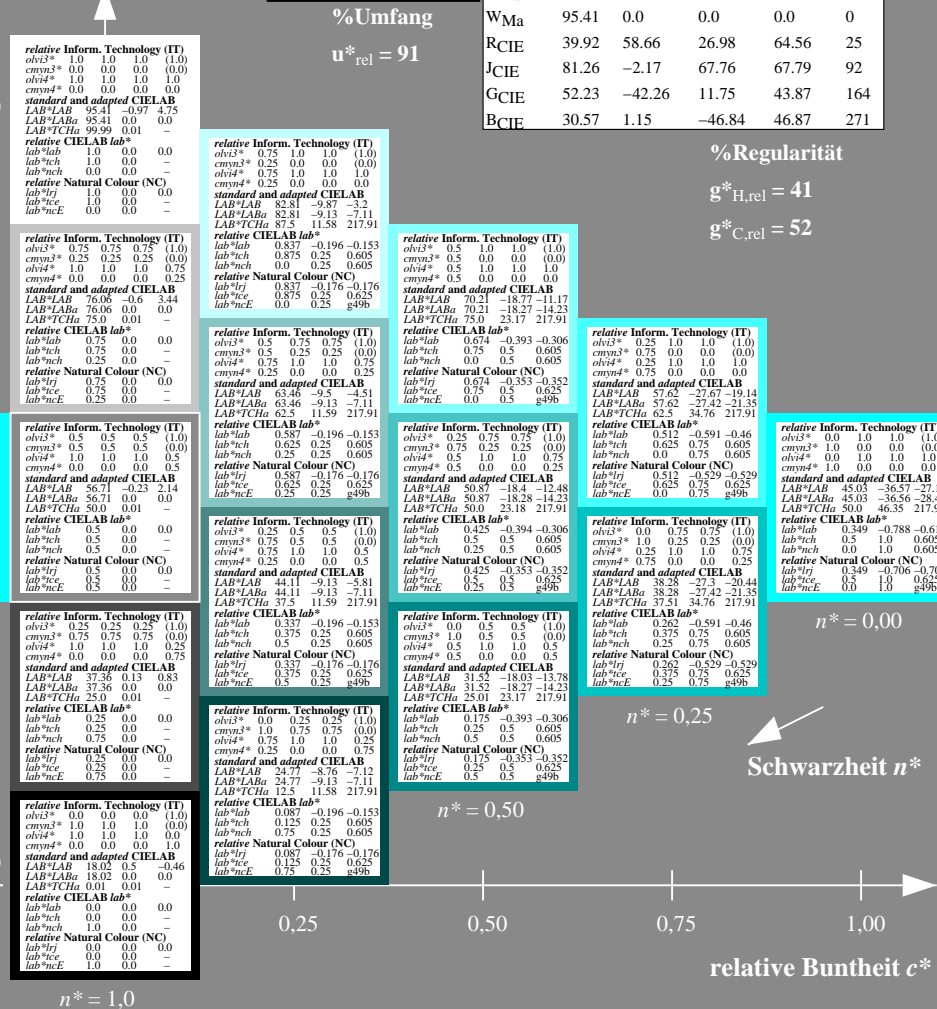
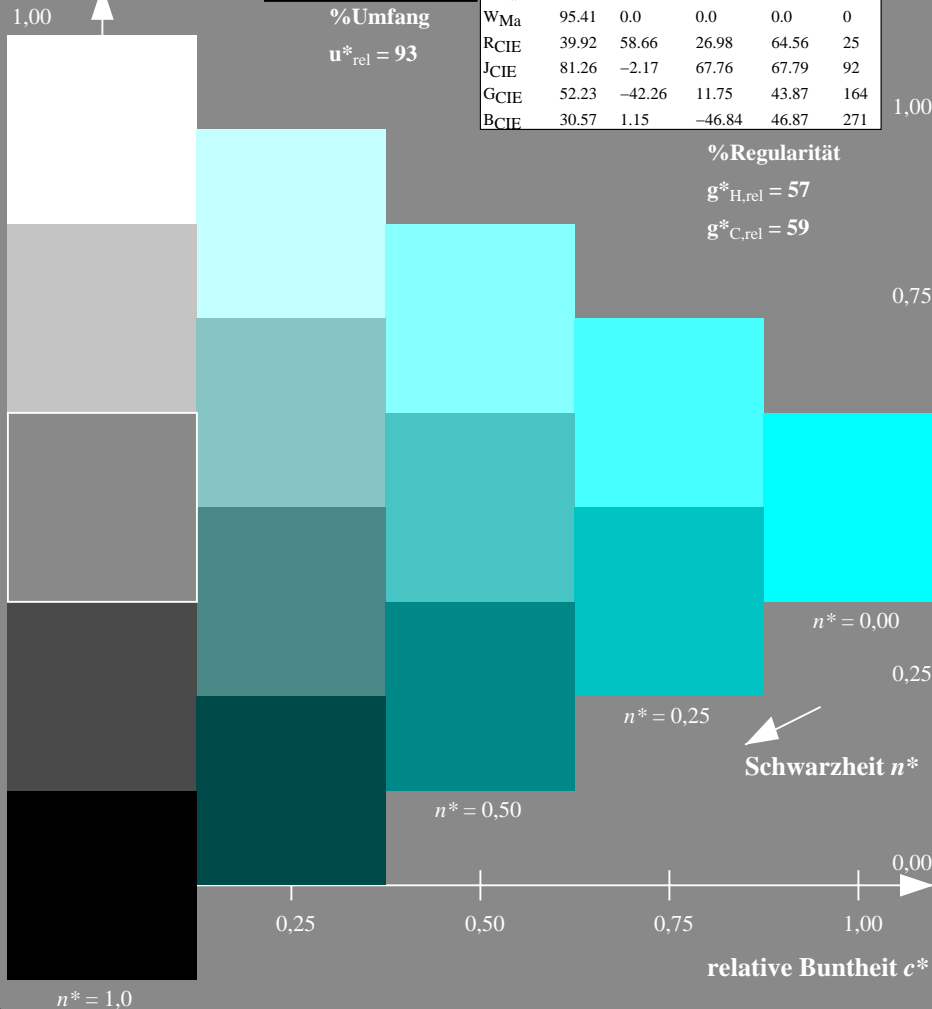
MRS18; adaptierte CIELAB-Daten

	$L^*=L^*_a$	a^*_a	b^*_a	$C^*_{ab,a}$	$h^*_{ab,a}$
RMa	49.63	66.96	38.37	77.18	30
JMa	90.7	-6.36	88.75	88.98	94
GMa	52.11	-69.73	9.44	70.37	172
G50BMa	45.03	-36.57	-28.47	46.36	218
BMa	36.65	23.19	-63.05	67.18	290
B50RMa	34.94	57.17	-44.26	72.31	322
NMa	18.01	0.0	0.0	0.0	0
WMa	95.41	0.0	0.0	0.0	0
RCIE	39.92	58.66	26.98	64.56	25
JCIE	81.26	-2.17	67.76	67.79	92
GCIE	52.23	-42.26	11.75	43.87	164
BCIE	30.57	1.15	-46.84	46.87	271

%Regularität

$g^*_{H,rel} = 41$

$g^*_{C,rel} = 52$



TG400-7, 5 stufige Reihen für konstanten CIELAB Buntton 236/360 = 0.656 (links)

5 stufige Reihen für konstanten CIELAB Buntton 218/360 = 0.605 (rechts)

BAM-Prüfvorlage TG40; Farbmatisches System ORS18 & MRS18input: $olv^* setrgbcolor$

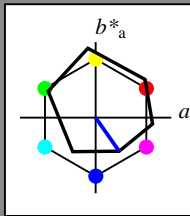
D65: 5stufige Farbreihen und Koordinaten-Daten für 10 Bunttöneoutput: $olv^* setrgbcolor / w^* setgray$

Eingabe: Farbmatisches Reflexions-System ORS18

für Buntton $h^* = lab^*h = 305/360 = 0.847$
 lab^*tch und lab^*nch

D65: Buntton V
 LCH*Ma: 26 54 305
 rgb*Ma: 0.0 0.0 1.0

Dreiecks-Helligkeit



ORS18; adaptierte CIELAB-Daten

	$L^* = L^*_a$	a^*_a	b^*_a	$C^*_{ab,a}$	$h^*_{ab,a}$
OMa	47.94	65.37	50.52	82.62	38
YMa	90.37	-10.27	91.77	92.34	96
LMa	50.9	-62.79	34.95	71.87	151
CMa	58.62	-30.35	-45.01	54.3	236
VMa	25.71	31.11	-44.42	54.24	305
MMa	48.13	75.27	-8.35	75.73	354
NMa	18.01	0.0	0.0	0.0	0
WMa	95.41	0.0	0.0	0.0	0
RCIE	39.92	58.66	26.98	64.56	25
JCIE	81.26	-2.17	67.76	67.79	92
GCIE	52.23	-42.26	11.75	43.87	164
BCIE	30.57	1.15	-46.84	46.87	271

%Regularität

$g^*_{H,rel} = 57$

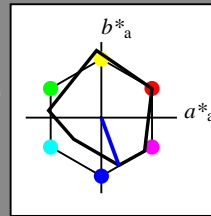
$g^*_{C,rel} = 59$

Ausgabe: Farbmatisches Reflexions-System MRS18

für Buntton $h^* = lab^*h = 290/360 = 0.806$
 lab^*tch und lab^*nch

D65: Buntton B
 LCH*Ma: 37 67 290
 rgb*Ma: 0.0 0.0 1.0

Dreiecks-Helligkeit



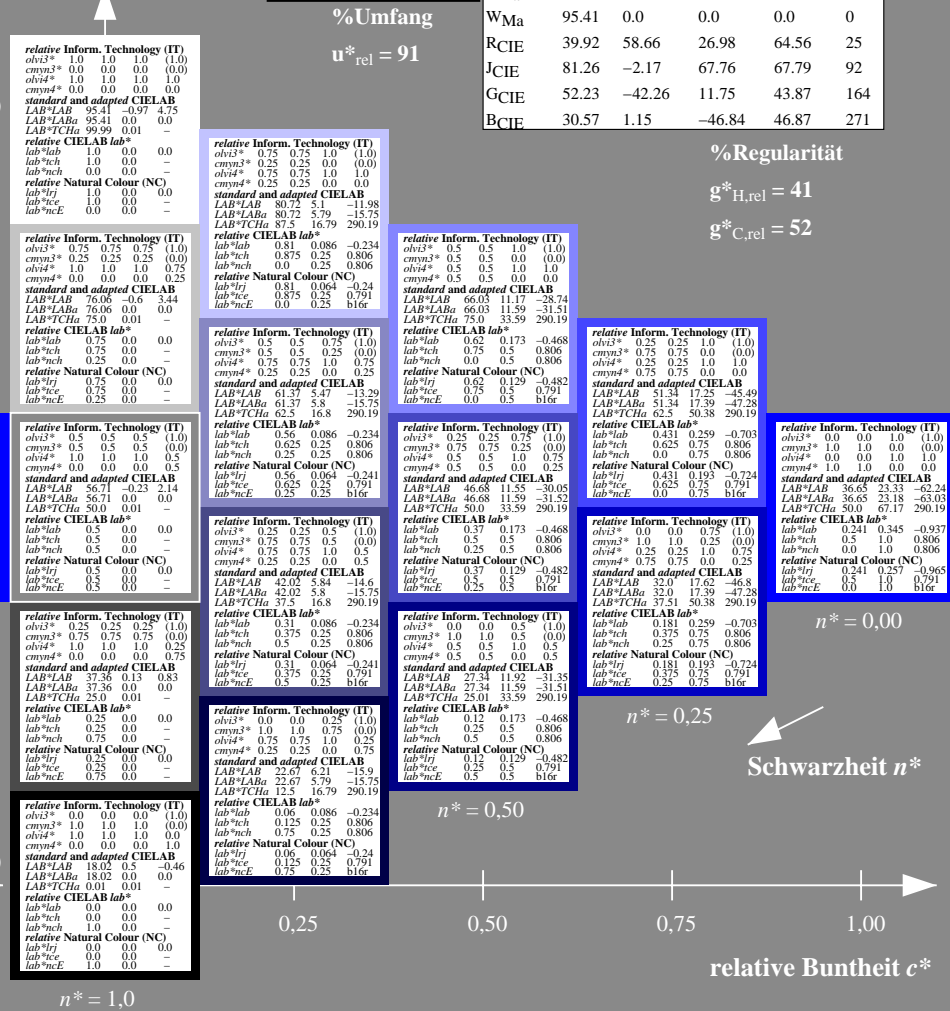
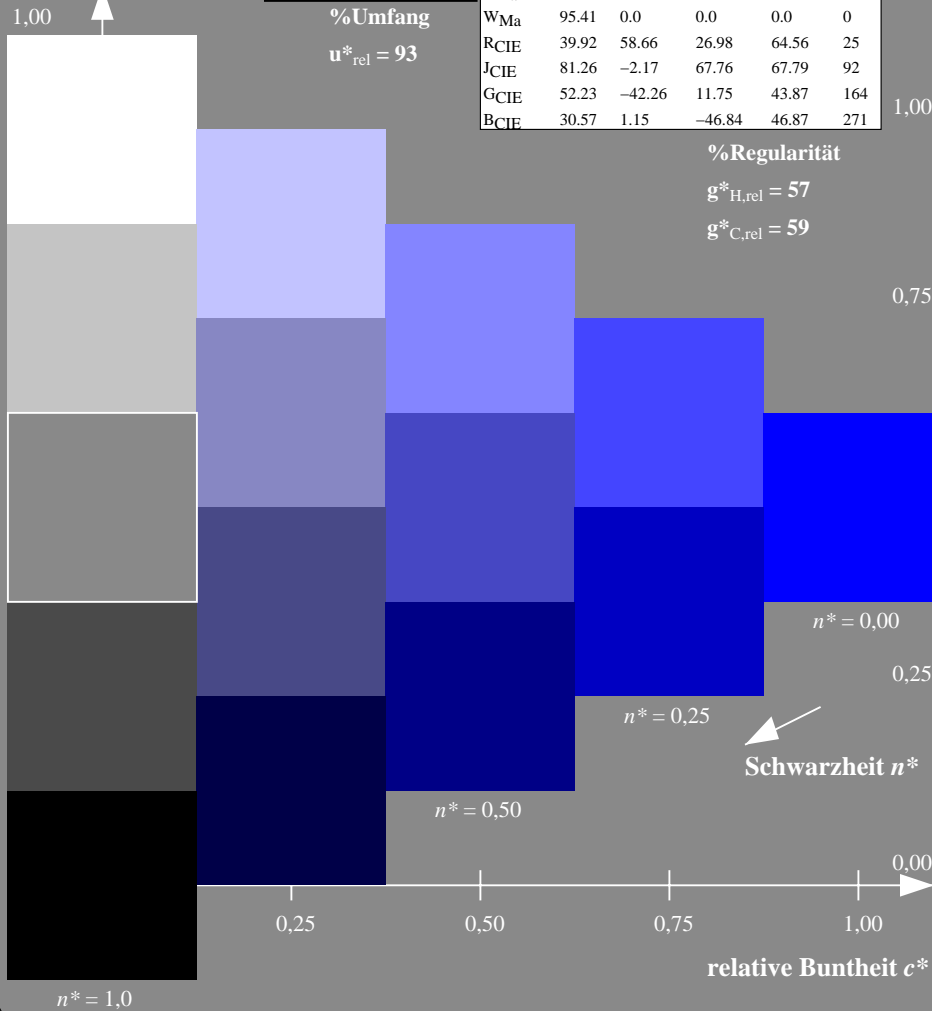
MRS18; adaptierte CIELAB-Daten

	$L^* = L^*_a$	a^*_a	b^*_a	$C^*_{ab,a}$	$h^*_{ab,a}$
RMa	49.63	66.96	38.37	77.18	30
JMa	90.7	-6.36	88.75	88.98	94
GMa	52.11	-69.73	9.44	70.37	172
G50BMa	45.03	-36.57	-28.47	46.36	218
BMa	36.65	23.19	-63.05	67.18	290
B50RMa	34.94	57.17	-44.26	72.31	322
NMa	18.01	0.0	0.0	0.0	0
WMa	95.41	0.0	0.0	0.0	0
RCIE	39.92	58.66	26.98	64.56	25
JCIE	81.26	-2.17	67.76	67.79	92
GCIE	52.23	-42.26	11.75	43.87	164
BCIE	30.57	1.15	-46.84	46.87	271

%Regularität

$g^*_{H,rel} = 41$

$g^*_{C,rel} = 52$



TG40-7, 5 stufige Reihen für konstanten CIELAB Buntton 305/360 = 0.847 (links)

5 stufige Reihen für konstanten CIELAB Buntton 290/360 = 0.806 (rechts)

BAM-Prüfvorlage TG40; Farbmatisches System ORS18 & MRS18input: $olv^* setrgbcolor$

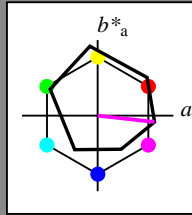
D65: 5stufige Farbreihen und Koordinaten-Daten für 10 Bunttöneoutput: $olv^* setrgbcolor / w^* setgray$

Eingabe: Farbmatisches Reflexions-System ORS18

für Buntton $h^* = lab^*h = 354/360 = 0.982$
 lab^*tch und lab^*nch

D65: Buntton M
 LCH*Ma: 48 76 354
 rgb*Ma: 1.0 0.0 1.0

Dreiecks-Helligkeit



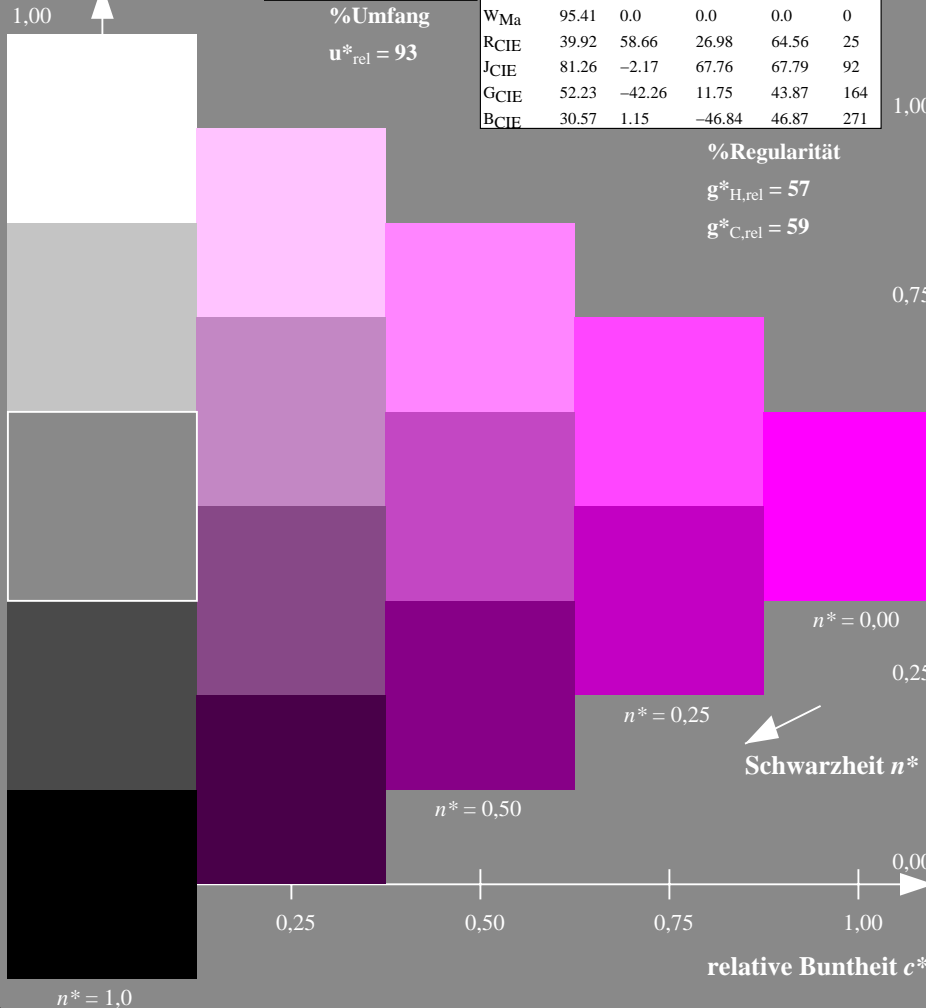
ORS18; adaptierte CIELAB-Daten

	$L^*=L^*_a$	a^*_a	b^*_a	$C^*_{ab,a}$	$h^*_{ab,a}$
OMa	47.94	65.37	50.52	82.62	38
YMa	90.37	-10.27	91.77	92.34	96
LMa	50.9	-62.79	34.95	71.87	151
CMa	58.62	-30.35	-45.01	54.3	236
VMa	25.71	31.11	-44.42	54.24	305
MMa	48.13	75.27	-8.35	75.73	354
NMa	18.01	0.0	0.0	0.0	0
WMa	95.41	0.0	0.0	0.0	0
RCIE	39.92	58.66	26.98	64.56	25
JCIE	81.26	-2.17	67.76	67.79	92
GCIE	52.23	-42.26	11.75	43.87	164
BCIE	30.57	1.15	-46.84	46.87	271

%Regularität

$g^*_{H,rel} = 57$

$g^*_{C,rel} = 59$



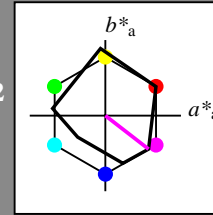
TG400-7, 5stufige Reihen für konstanten CIELAB Buntton 354/360 = 0.982 (links)

Ausgabe: Farbmatisches Reflexions-System MRS18

für Buntton $h^* = lab^*h = 322/360 = 0.895$
 lab^*tch und lab^*nch

D65: Buntton B50R
 LCH*Ma: 35 72 322
 rgb*Ma: 1.0 0.0 1.0

Dreiecks-Helligkeit



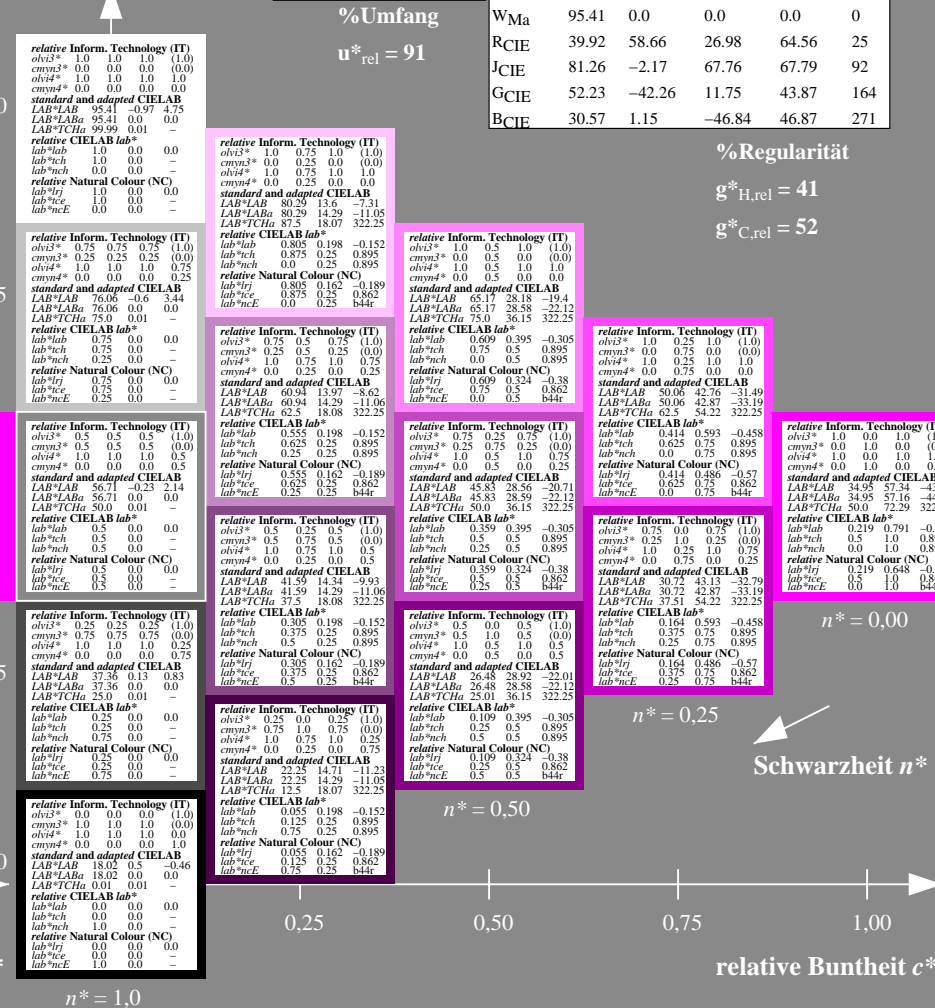
MRS18; adaptierte CIELAB-Daten

	$L^*=L^*_a$	a^*_a	b^*_a	$C^*_{ab,a}$	$h^*_{ab,a}$
RMa	49.63	66.96	38.37	77.18	30
JMa	90.7	-6.36	88.75	88.98	94
GMa	52.11	-69.73	9.44	70.37	172
G50BMa	45.03	-36.57	-28.47	46.36	218
BMa	36.65	23.19	-63.05	67.18	290
B50RMa	34.94	57.17	-44.26	72.31	322
NMa	18.01	0.0	0.0	0.0	0
WMa	95.41	0.0	0.0	0.0	0
RCIE	39.92	58.66	26.98	64.56	25
JCIE	81.26	-2.17	67.76	67.79	92
GCIE	52.23	-42.26	11.75	43.87	164
BCIE	30.57	1.15	-46.84	46.87	271

%Regularität

$g^*_{H,rel} = 41$

$g^*_{C,rel} = 52$



5stufige Reihen für konstanten CIELAB Buntton 322/360 = 0.895 (rechts)

BAM-Prüfvorlage TG40; Farbmatisches System ORS18 & MRS18input: $olv^* setrgbcolor$

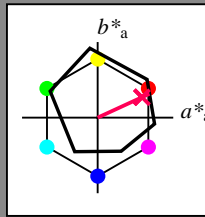
D65: 5stufige Farbreihen und Koordinaten-Daten für 10 Bunttöneoutput: $olv^* setrgbcolor / w^* setgray$

Eingabe: Farbmatisches Reflexions-System ORS18

für Bunnton $h^* = lab^*h = 25/360 = 0.069$
 lab^*tch und lab^*nch

D65: Bunnton R
 LCH*Ma: 48 75 25
 rgb*Ma: 1.0 0.0 0.32

Dreiecks-Helligkeit



ORS18; adaptierte CIELAB-Daten

	$L^*=L^*_a$	a^*_a	b^*_a	$C^*_{ab,a}$	$h^*_{ab,a}$
OMa	47.94	65.37	50.52	82.62	38
YMa	90.37	-10.27	91.77	92.34	96
LMa	50.9	-62.79	34.95	71.87	151
CMa	58.62	-30.35	-45.01	54.3	236
VMa	25.71	31.11	-44.42	54.24	305
MMa	48.13	75.27	-8.35	75.73	354
NMa	18.01	0.0	0.0	0.0	0
WMa	95.41	0.0	0.0	0.0	0
RCIE	39.92	58.66	26.98	64.56	25
JCIE	81.26	-2.17	67.76	67.79	92
GCIE	52.23	-42.26	11.75	43.87	164
BCIE	30.57	1.15	-46.84	46.87	271

%Regularität

$g^*_{H,rel} = 57$

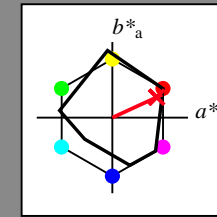
$g^*_{C,rel} = 59$

Ausgabe: Farbmatisches Reflexions-System MRS18

für Bunnton $h^* = lab^*h = 25/360 = 0.069$
 lab^*tch und lab^*nch

D65: Bunnton R
 LCH*Ma: 48 73 25
 rgb*Ma: 1.0 0.0 0.1

Dreiecks-Helligkeit



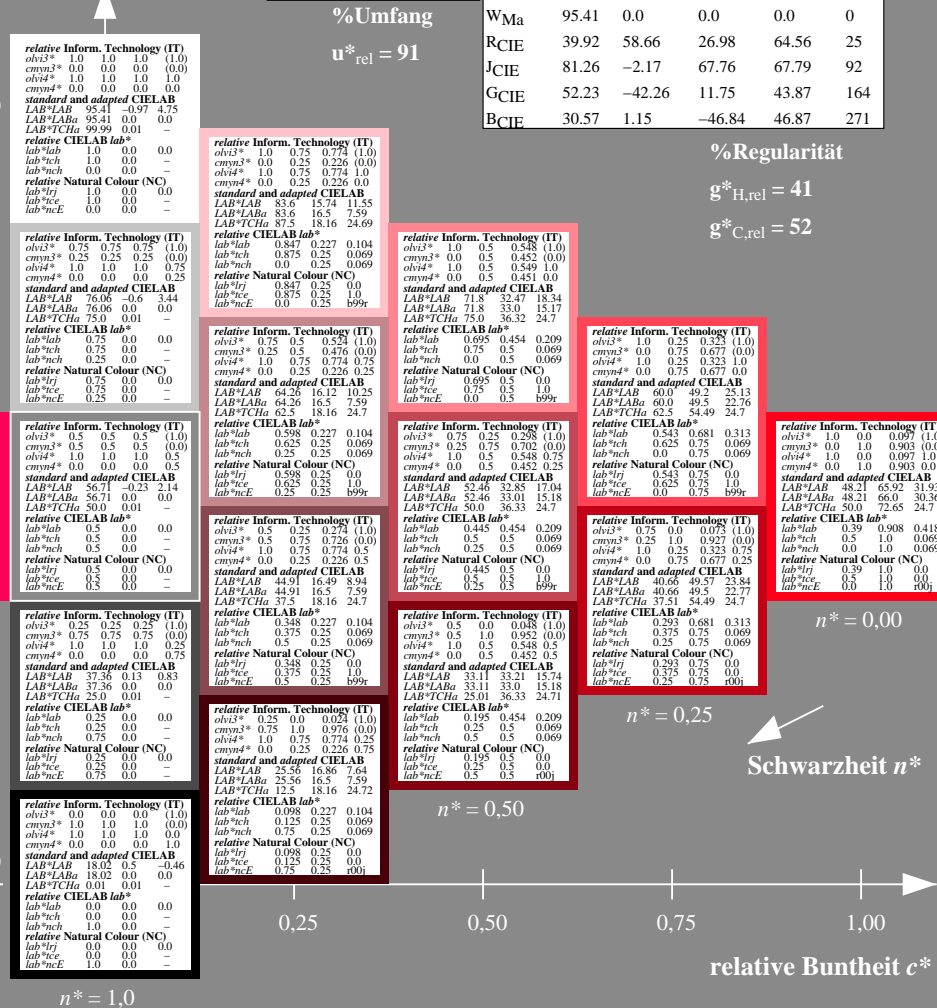
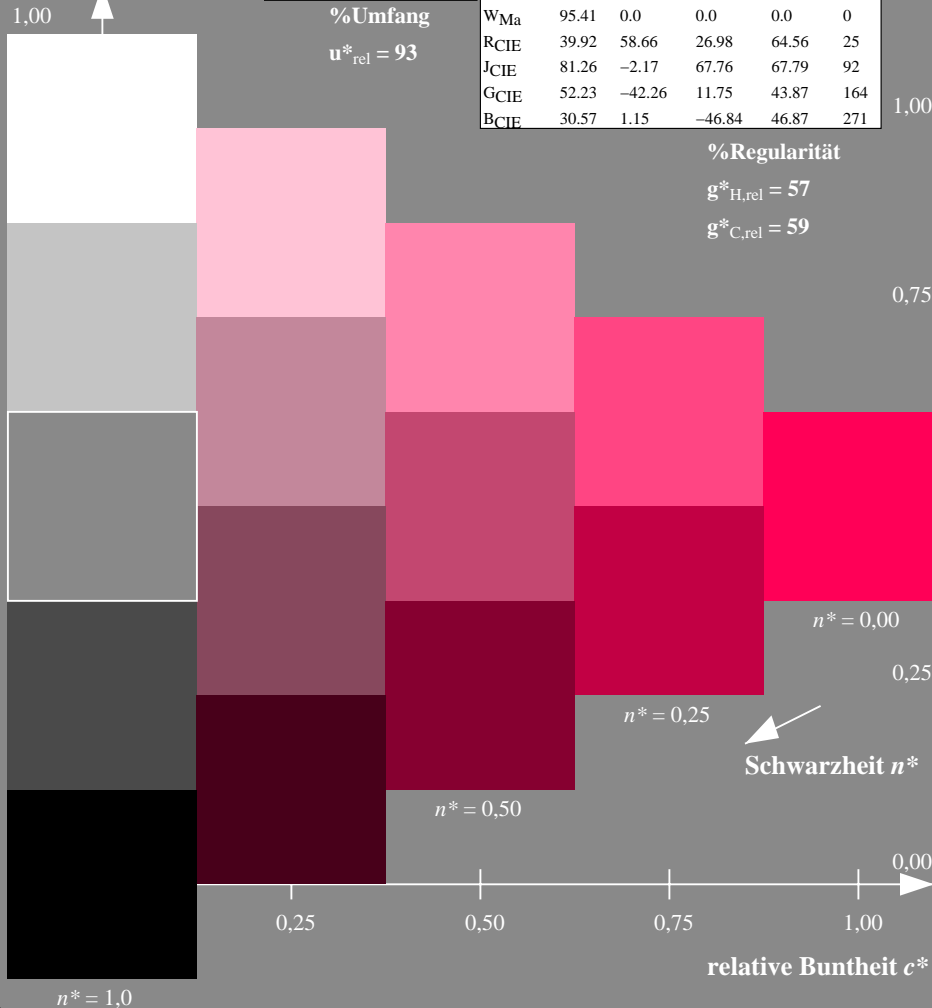
MRS18; adaptierte CIELAB-Daten

	$L^*=L^*_a$	a^*_a	b^*_a	$C^*_{ab,a}$	$h^*_{ab,a}$
RMa	49.63	66.96	38.37	77.18	30
JMa	90.7	-6.36	88.75	88.98	94
GMa	52.11	-69.73	9.44	70.37	172
G50BMa	45.03	-36.57	-28.47	46.36	218
BMa	36.65	23.19	-63.05	67.18	290
B50RMa	34.94	57.17	-44.26	72.31	322
NMa	18.01	0.0	0.0	0.0	0
WMa	95.41	0.0	0.0	0.0	0
RCIE	39.92	58.66	26.98	64.56	25
JCIE	81.26	-2.17	67.76	67.79	92
GCIE	52.23	-42.26	11.75	43.87	164
BCIE	30.57	1.15	-46.84	46.87	271

%Regularität

$g^*_{H,rel} = 41$

$g^*_{C,rel} = 52$



TG400-7, 5 stufige Reihen für konstanten CIELAB Bunnton 25/360 = 0.069 (links)

5 stufige Reihen für konstanten CIELAB Bunnton 25/360 = 0.069 (rechts)

BAM-Prüfvorlage TG40; Farbmatisches System ORS18 & MRS18input: $olv^* setrgbcolor$

D65: 5stufige Farbreihen und Koordinaten-Daten für 10 Bunntöneoutput: $olv^* setrgbcolor / w^* setgray$

Siehe ähnliche Dateien: <http://www.ps.bam.de/TG40/>
 Technische Information: <http://www.ps.bam.de> Version 2.1, io=1,1, CIEXYZ

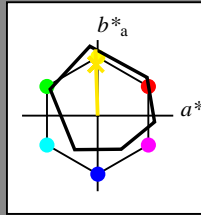
BAM-Registrierung: 20060101-TG40/10L/L40G06FP.PS/.PDF BAM-Material: Code=th4ta
 Anwendung für Beurteilung und Messung von Drucker- oder Monitorssystemen, Yr=2.5, XYZ
 /TG40/ Form 7/10, Serie: 1/1, Seite: 7
 Seitenhang 7

Eingabe: Farbmatisches Reflexions-System ORS18

für Buntonn $h^* = lab^*h = 92/360 = 0.255$
 lab^*tch und lab^*nch

D65: Buntonn J
 LCH*Ma: 86 88 92
 rgb*Ma: 1.0 0.9 0.0

Dreiecks-Helligkeit



ORS18; adaptierte CIELAB-Daten

	$L^*=L^*_a$	a^*_a	b^*_a	$C^*_{ab,a}$	$h^*_{ab,a}$
OMa	47.94	65.37	50.52	82.62	38
YMa	90.37	-10.27	91.77	92.34	96
LMa	50.9	-62.79	34.95	71.87	151
CMa	58.62	-30.35	-45.01	54.3	236
VMa	25.71	31.11	-44.42	54.24	305
MMa	48.13	75.27	-8.35	75.73	354
NMa	18.01	0.0	0.0	0.0	0
WMa	95.41	0.0	0.0	0.0	0
RCIE	39.92	58.66	26.98	64.56	25
JCIE	81.26	-2.17	67.76	67.79	92
GCIE	52.23	-42.26	11.75	43.87	164
BCIE	30.57	1.15	-46.84	46.87	271

%Regularität

$g^*_{H,rel} = 57$

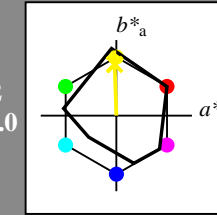
$g^*_{C,rel} = 59$

Ausgabe: Farbmatisches Reflexions-System MRS18

für Buntonn $h^* = lab^*h = 92/360 = 0.255$
 lab^*tch und lab^*nch

D65: Buntonn J
 LCH*Ma: 89 86 92
 rgb*Ma: 1.0 0.95 0.0

Dreiecks-Helligkeit



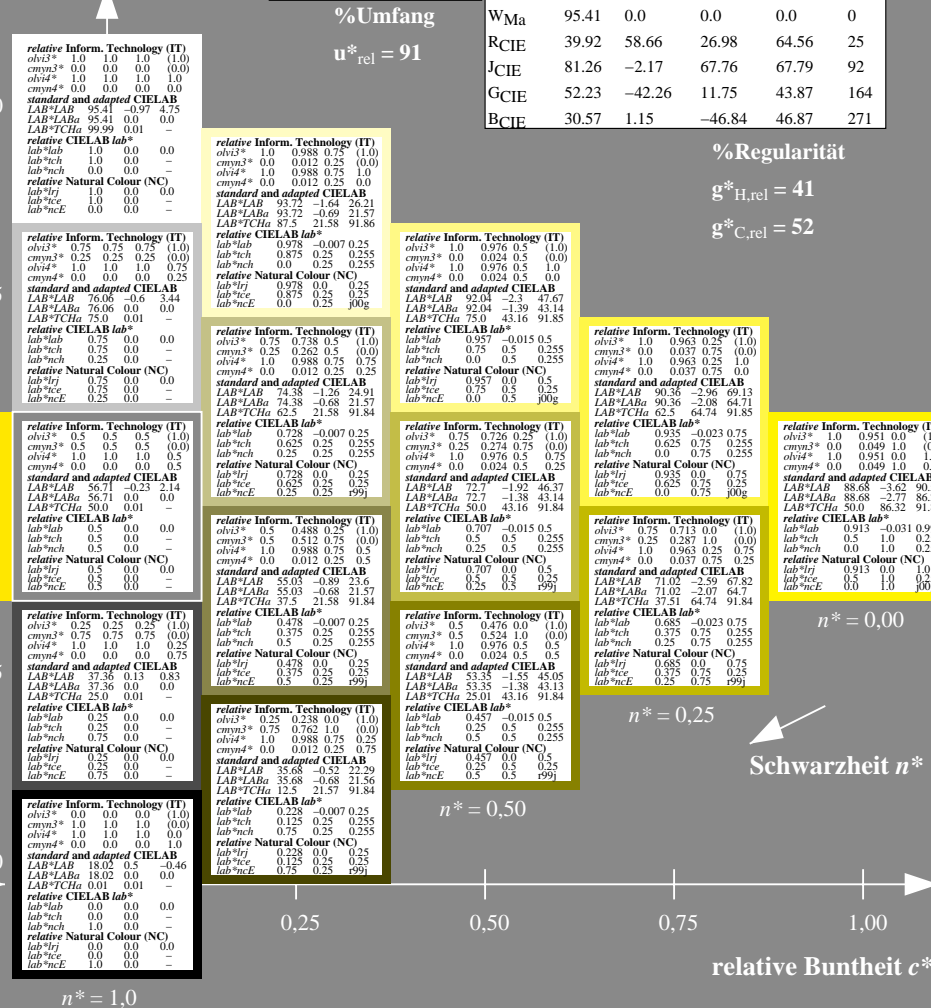
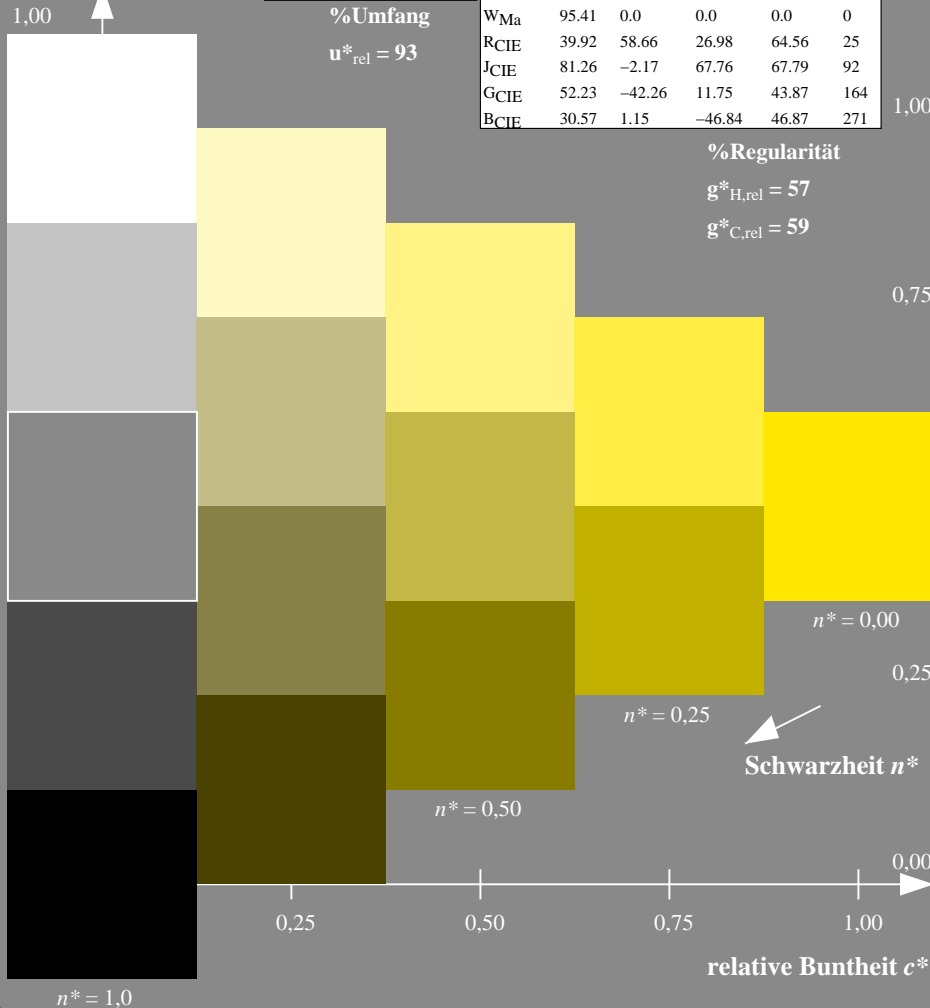
MRS18; adaptierte CIELAB-Daten

	$L^*=L^*_a$	a^*_a	b^*_a	$C^*_{ab,a}$	$h^*_{ab,a}$
RMa	49.63	66.96	38.37	77.18	30
JMa	90.7	-6.36	88.75	88.98	94
GMa	52.11	-69.73	9.44	70.37	172
G50BMa	45.03	-36.57	-28.47	46.36	218
BMa	36.65	23.19	-63.05	67.18	290
B50RMa	34.94	57.17	-44.26	72.31	322
NMa	18.01	0.0	0.0	0.0	0
WMa	95.41	0.0	0.0	0.0	0
RCIE	39.92	58.66	26.98	64.56	25
JCIE	81.26	-2.17	67.76	67.79	92
GCIE	52.23	-42.26	11.75	43.87	164
BCIE	30.57	1.15	-46.84	46.87	271

%Regularität

$g^*_{H,rel} = 41$

$g^*_{C,rel} = 52$



TG400-7, 5 stufige Reihen für konstanten CIELAB Buntonn $92/360 = 0.255$ (links)

5 stufige Reihen für konstanten CIELAB Buntonn $92/360 = 0.255$ (rechts)

BAM-Prüfvorlage TG40; Farbmatisches System ORS18 & MRS18input: $olv^* setrgbcolor$

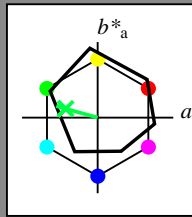
D65: 5stufige Farbreihen und Koordinaten-Daten für 10 Bunntöneoutput: $olv^* setrgbcolor / w^* setgray$

Eingabe: Farbmatisches Reflexions-System ORS18

für Buntton $h^* = lab^*h = 164/360 = 0.457$
 lab^*tch und lab^*nch

D65: Buntton G
 LCH*Ma: 53 57 164
 rgb*Ma: 0.0 1.0 0.25

Dreiecks-Helligkeit



ORS18; adaptierte CIELAB-Daten

	$L^* = L^*_a$	a^*_a	b^*_a	$C^*_{ab,a}$	$h^*_{ab,a}$
OMa	47.94	65.37	50.52	82.62	38
YMa	90.37	-10.27	91.77	92.34	96
LMa	50.9	-62.79	34.95	71.87	151
CMa	58.62	-30.35	-45.01	54.3	236
VMa	25.71	31.11	-44.42	54.24	305
MMa	48.13	75.27	-8.35	75.73	354
NMa	18.01	0.0	0.0	0.0	0
WMa	95.41	0.0	0.0	0.0	0
RCIE	39.92	58.66	26.98	64.56	25
JCIE	81.26	-2.17	67.76	67.79	92
GCIE	52.23	-42.26	11.75	43.87	164
BCIE	30.57	1.15	-46.84	46.87	271

%Regularität

$g^*_{H,rel} = 57$

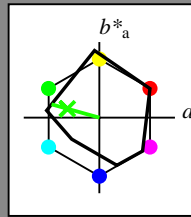
$g^*_{C,rel} = 59$

Ausgabe: Farbmatisches Reflexions-System MRS18

für Buntton $h^* = lab^*h = 164/360 = 0.457$
 lab^*tch und lab^*nch

D65: Buntton G
 LCH*Ma: 56 66 164
 rgb*Ma: 0.1 1.0 0.0

Dreiecks-Helligkeit



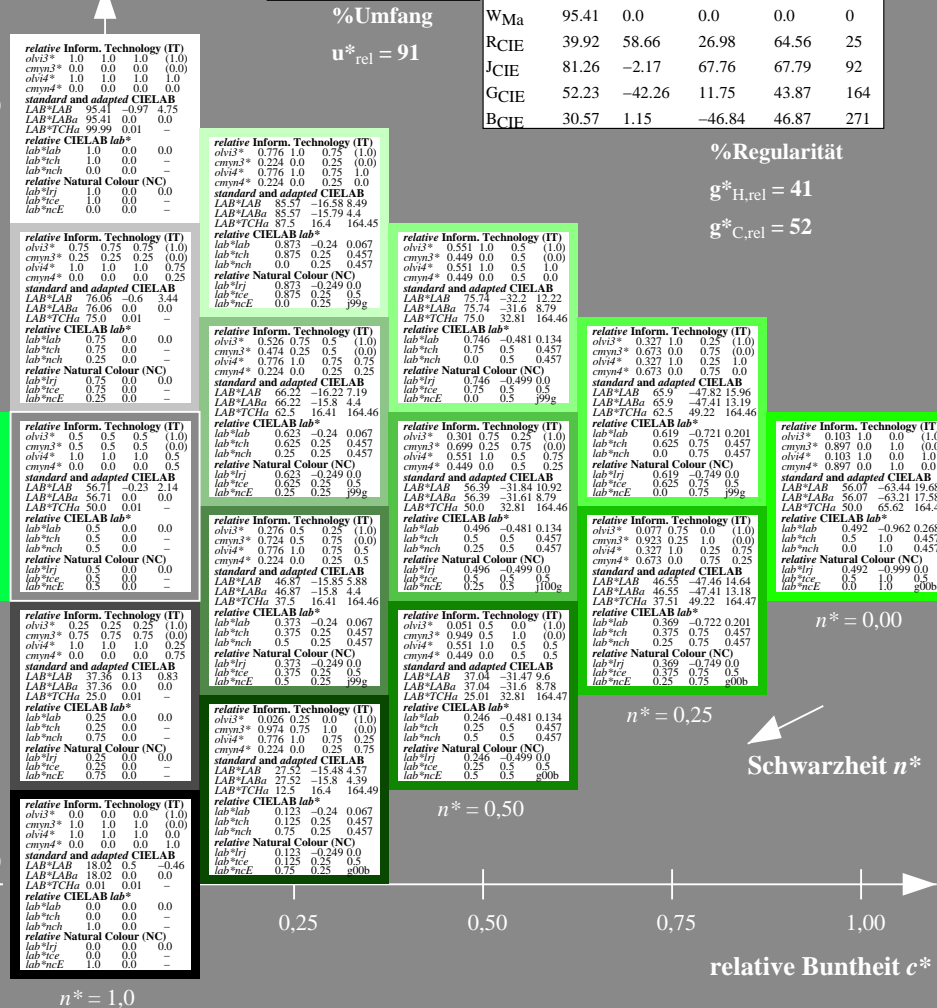
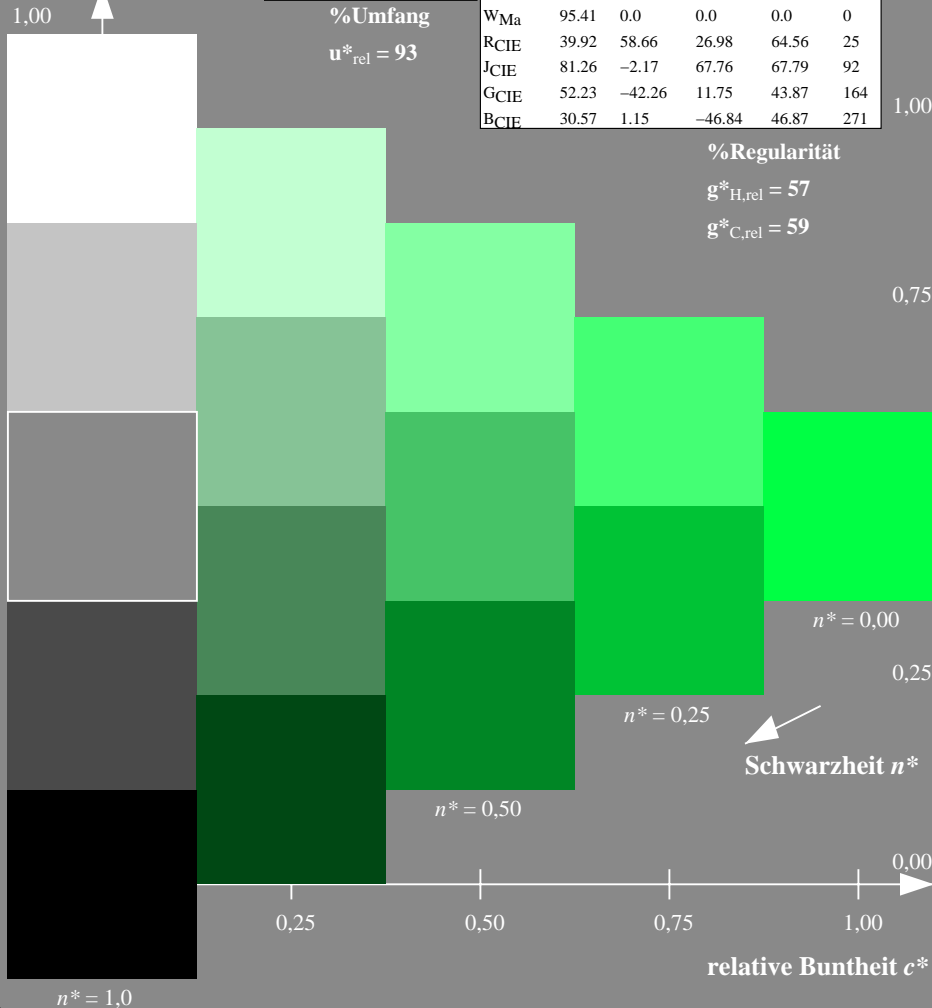
MRS18; adaptierte CIELAB-Daten

	$L^* = L^*_a$	a^*_a	b^*_a	$C^*_{ab,a}$	$h^*_{ab,a}$
RMa	49.63	66.96	38.37	77.18	30
JMa	90.7	-6.36	88.75	88.98	94
GMa	52.11	-69.73	9.44	70.37	172
G50BMa	45.03	-36.57	-28.47	46.36	218
BMa	36.65	23.19	-63.05	67.18	290
B50RMa	34.94	57.17	-44.26	72.31	322
NMa	18.01	0.0	0.0	0.0	0
WMa	95.41	0.0	0.0	0.0	0
RCIE	39.92	58.66	26.98	64.56	25
JCIE	81.26	-2.17	67.76	67.79	92
GCIE	52.23	-42.26	11.75	43.87	164
BCIE	30.57	1.15	-46.84	46.87	271

%Regularität

$g^*_{H,rel} = 41$

$g^*_{C,rel} = 52$



TG400-7, 5 stufige Reihen für konstanten CIELAB Buntton 164/360 = 0.457 (links)

5 stufige Reihen für konstanten CIELAB Buntton 164/360 = 0.457 (rechts)

BAM-Prüfvorlage TG40; Farbmatrik-Systeme ORS18 & MRS18input: $olv^* setrgbcolor$

D65: 5stufige Farbreihen und Koordinaten-Daten für 10 Bunttöneoutput: $olv^* setrgbcolor / w^* setgray$

Siehe ähnliche Dateien: <http://www.ps.bam.de/TG40/>
 Technische Information: <http://www.ps.bam.de> Version 2.1, io=1,1, CIEXYZ

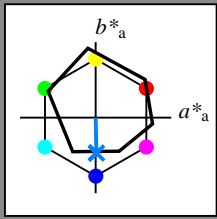
BAM-Registrierung: 20060101-TG40/10L/L40G08FP.PS/.PDF BAM-Material: Code=th4ta
 Anwendung für Beurteilung und Messung von Drucker- oder Monitorsystemen, Yr=2.5, XYZ
 /TG40/ Form 9/10, Serie: 1/1, Seite: 9
 Seitenhang 9

Eingabe: Farbmatisches Reflexions-System ORS18

für Buntton $h^* = lab^*h = 271/360 = 0.754$
 lab^*tch und lab^*nch

D65: Buntton B
 LCH*Ma: 42 45 271
 rgb*Ma: 0.0 0.49 1.0

Dreiecks-Helligkeit



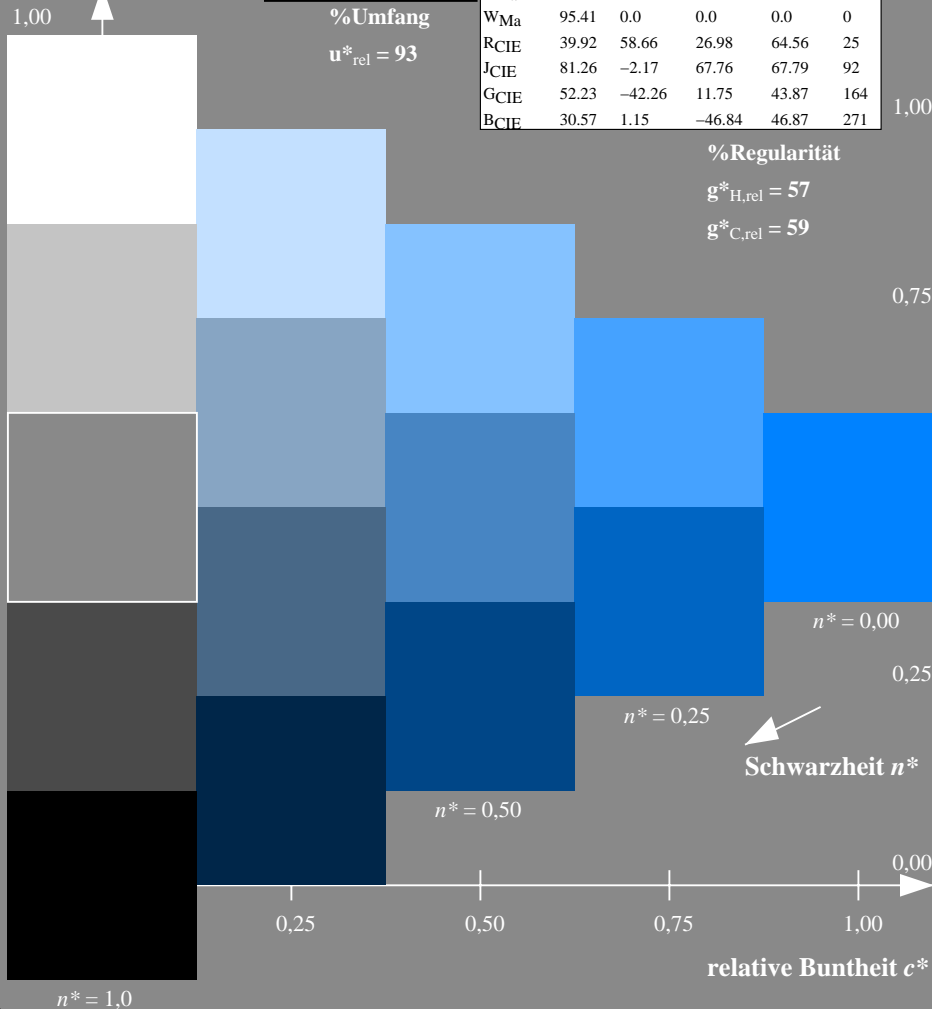
ORS18; adaptierte CIELAB-Daten

	$L^*=L^*_a$	a^*_a	b^*_a	$C^*_{ab,a}$	$h^*_{ab,a}$
OMa	47.94	65.37	50.52	82.62	38
YMa	90.37	-10.27	91.77	92.34	96
LMa	50.59	-62.79	34.95	71.87	151
CMa	58.62	-30.35	-45.01	54.3	236
VMa	25.71	31.11	-44.42	54.24	305
MMa	48.13	75.27	-8.35	75.73	354
NMa	18.01	0.0	0.0	0.0	0
WMa	95.41	0.0	0.0	0.0	0
RCIE	39.92	58.66	26.98	64.56	25
JCIE	81.26	-2.17	67.76	67.79	92
GCIE	52.23	-42.26	11.75	43.87	164
BCIE	30.57	1.15	-46.84	46.87	271

%Regularität

$g^*_{H,rel} = 57$

$g^*_{C,rel} = 59$



relative Inform. Technology (IT)
 obv^*_3 1.0 1.0 1.0 (1.0)
 cmv^*_2 0.0 0.0 0.0 (0.0)
 ov^*_4 1.0 1.0 1.0 1.0
 cmv^*_4 0.0 0.0 0.0 0.0
 standard and adapted CIELAB
 LAB*LAB 95.41 -0.97 4.75
 LAB*LABa 95.41 0.0 0.0
 LAB*TCHa 99.99 0.01 -

relative CIELAB lab*
 lab*lab 1.0 0.0 0.0
 lab*ch 1.0 0.0 0.0
 lab*nch 0.0 0.0 -
 relative Natural Colour (NC)
 lab*lrj 1.0 0.0 0.0
 lab*nce 1.0 0.0 -
 lab*nce 0.0 0.0 -

relative Inform. Technology (IT)
 obv^*_3 0.75 0.75 0.75 (1.0)
 cmv^*_2 0.25 0.25 0.25 (0.0)
 ov^*_4 1.0 1.0 1.0 0.75
 cmv^*_4 0.0 0.0 0.0 0.25
 standard and adapted CIELAB
 LAB*LAB 76.06 -0.6 3.44
 LAB*LABa 76.06 0.0 0.0
 LAB*TCHa 75.0 0.01 -

relative CIELAB lab*
 lab*lab 0.75 0.0 0.0
 lab*ch 0.75 0.0 -
 lab*nch 0.25 0.0 -
 relative Natural Colour (NC)
 lab*lrj 0.75 0.0 0.0
 lab*nce 0.75 0.0 -
 lab*nce 0.25 0.0 -

relative Inform. Technology (IT)
 obv^*_3 0.5 0.5 0.5 (0.0)
 cmv^*_2 0.5 0.5 0.5 (0.0)
 ov^*_4 1.0 1.0 1.0 0.5
 cmv^*_4 0.0 0.0 0.0 0.5
 standard and adapted CIELAB
 LAB*LAB 56.71 0.0 2.14
 LAB*LABa 56.71 0.0 0.0
 LAB*TCHa 50.0 0.01 -

relative CIELAB lab*
 lab*lab 0.5 0.0 0.0
 lab*ch 0.5 0.0 -
 lab*nch 0.0 0.0 -
 relative Natural Colour (NC)
 lab*lrj 0.5 0.0 0.0
 lab*nce 0.5 0.0 -
 lab*nce 0.0 0.0 -

relative Inform. Technology (IT)
 obv^*_3 0.25 0.25 0.25 (1.0)
 cmv^*_2 0.75 0.75 0.75 (0.0)
 ov^*_4 1.0 1.0 1.0 0.25
 cmv^*_4 0.0 0.0 0.0 0.75
 standard and adapted CIELAB
 LAB*LAB 37.36 0.13 0.83
 LAB*LABa 37.36 0.0 0.0
 LAB*TCHa 25.0 0.01 -

relative CIELAB lab*
 lab*lab 0.25 0.0 0.0
 lab*ch 0.25 0.0 -
 lab*nch 0.75 0.0 0.5
 relative Natural Colour (NC)
 lab*lrj 0.25 0.0 0.0
 lab*nce 0.25 0.0 -
 lab*nce 0.75 0.0 -

relative Inform. Technology (IT)
 obv^*_3 0.0 0.0 0.0 (1.0)
 cmv^*_2 1.0 1.0 1.0 (0.0)
 ov^*_4 1.0 1.0 1.0 0.0
 cmv^*_4 0.0 0.0 0.0 1.0
 standard and adapted CIELAB
 LAB*LAB 18.02 0.5 -0.46
 LAB*LABa 18.02 0.0 0.0
 LAB*TCHa 0.01 0.01 -

relative CIELAB lab*
 lab*lab 0.0 0.0 0.0
 lab*ch 0.0 0.0 0.0
 lab*nch 1.0 0.0 0.0
 relative Natural Colour (NC)
 lab*lrj 0.0 0.0 0.0
 lab*nce 0.0 0.0 -
 lab*nce 1.0 0.0 -

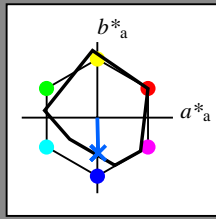
$n^* = 1.0$

Ausgabe: Farbmatisches Reflexions-System MRS18

für Buntton $h^* = lab^*h = 271/360 = 0.754$
 lab^*tch und lab^*nch

D65: Buntton B
 LCH*Ma: 40 50 271
 rgb*Ma: 0.0 0.37 1.0

Dreiecks-Helligkeit



MRS18; adaptierte CIELAB-Daten

	$L^*=L^*_a$	a^*_a	b^*_a	$C^*_{ab,a}$	$h^*_{ab,a}$
RMa	49.63	66.96	38.37	77.18	30
JMa	90.7	-6.36	88.75	88.98	94
GMa	52.11	-69.73	9.44	70.37	172
G50BMa	45.03	-36.57	-28.47	46.36	218
BMa	36.65	23.19	-63.05	67.18	290
B50RMa	34.94	57.17	-44.26	72.31	322
NMa	18.01	0.0	0.0	0.0	0
WMa	95.41	0.0	0.0	0.0	0
RCIE	39.92	58.66	26.98	64.56	25
JCIE	81.26	-2.17	67.76	67.79	92
GCIE	52.23	-42.26	11.75	43.87	164
BCIE	30.57	1.15	-46.84	46.87	271

%Regularität

$g^*_{H,rel} = 41$

$g^*_{C,rel} = 52$

relative Inform. Technology (IT)
 obv^*_3 0.75 0.842 1.0 (1.0)
 cmv^*_2 0.25 0.158 0.0 (0.0)
 ov^*_4 0.75 0.842 1.0 1.0
 cmv^*_4 0.0 0.0 0.0 0.0
 standard and adapted CIELAB
 LAB*LAB 81.49 -0.4 -8.75
 LAB*LABa 81.49 0.31 12.57
 LAB*TCHa 87.5 12.59 271.39

relative CIELAB lab*
 lab*lab 1.0 0.0 0.0
 lab*ch 0.875 0.25 0.754
 lab*nch 0.0 0.25 0.754
 relative Natural Colour (NC)
 lab*lrj 1.0 0.0 -0.249
 lab*nce 0.875 0.25 0.754
 lab*nce 0.0 0.25 0.996

relative Inform. Technology (IT)
 obv^*_3 0.5 0.592 0.75 (1.0)
 cmv^*_2 0.5 0.408 0.25 (0.0)
 ov^*_4 0.75 0.842 1.0 0.75
 cmv^*_4 0.0 0.0 0.0 0.25
 standard and adapted CIELAB
 LAB*LAB 62.14 -0.02 -10.06
 LAB*LABa 62.14 0.31 12.58
 LAB*TCHa 62.5 12.59 271.4

relative CIELAB lab*
 lab*lab 0.5 0.592 0.75 (1.0)
 lab*ch 0.5 0.408 0.25 (0.0)
 lab*nch 0.25 0.0 0.754
 relative Natural Colour (NC)
 lab*lrj 0.5 0.0 -0.249
 lab*nce 0.5 0.25 0.754
 lab*nce 0.0 0.25 0.996

relative Inform. Technology (IT)
 obv^*_3 0.25 0.52 0.5 (0.0)
 cmv^*_2 0.75 0.566 0.25 (0.0)
 ov^*_4 0.5 0.842 1.0 0.5
 cmv^*_4 0.0 0.0 0.0 0.25
 standard and adapted CIELAB
 LAB*LAB 48.22 0.54 -23.59
 LAB*LABa 48.22 0.62 -25.17
 LAB*TCHa 50.0 25.18 271.4

relative CIELAB lab*
 lab*lab 0.25 0.52 0.5 (0.0)
 lab*ch 0.75 0.566 0.25 (0.0)
 lab*nch 0.0 0.5 0.754
 relative Natural Colour (NC)
 lab*lrj 0.25 0.0 -0.499
 lab*nce 0.25 0.5 0.754
 lab*nce 0.0 0.5 0.996

relative Inform. Technology (IT)
 obv^*_3 0.0 0.84 0.5 (1.0)
 cmv^*_2 1.0 0.184 0.5 (0.0)
 ov^*_4 0.5 0.84 1.0 0.5
 cmv^*_4 0.5 0.316 0.0 0.5
 standard and adapted CIELAB
 LAB*LAB 28.87 0.62 -25.16
 LAB*LABa 28.87 0.62 -25.16
 LAB*TCHa 25.01 25.18 271.41

relative CIELAB lab*
 lab*lab 0.14 0.012 -0.499
 lab*ch 0.25 0.5 0.754
 lab*nch 0.5 0.5 0.754
 relative Natural Colour (NC)
 lab*lrj 0.25 0.0 -0.499
 lab*nce 0.25 0.5 0.754
 lab*nce 0.5 0.5 0.996

relative Inform. Technology (IT)
 obv^*_3 0.0 0.0 0.0 (1.0)
 cmv^*_2 1.0 0.908 0.75 (0.0)
 ov^*_4 1.0 1.0 1.0 0.0
 cmv^*_4 0.0 0.0 0.0 1.0
 standard and adapted CIELAB
 LAB*LAB 18.02 0.5 -0.46
 LAB*LABa 18.02 0.0 0.0
 LAB*TCHa 0.01 0.01 -

relative CIELAB lab*
 lab*lab 0.0 0.0 0.0
 lab*ch 0.0 0.0 0.0
 lab*nch 1.0 0.0 0.0
 relative Natural Colour (NC)
 lab*lrj 0.0 0.0 0.0
 lab*nce 0.0 0.0 -
 lab*nce 1.0 0.0 -

$n^* = 1.0$

relative Inform. Technology (IT)
 obv^*_3 0.25 0.434 0.75 (1.0)
 cmv^*_2 0.75 0.684 1.0 0.75
 ov^*_4 0.5 0.842 1.0 0.75
 cmv^*_4 0.5 0.316 0.0 0.25
 standard and adapted CIELAB
 LAB*LAB 67.57 0.17 -22.28
 LAB*LABa 67.57 0.61 -25.16
 LAB*TCHa 75.0 25.18 271.4

relative CIELAB lab*
 lab*lab 0.64 0.012 -0.499
 lab*ch 0.75 0.5 0.754
 lab*nch 0.0 0.5 0.754
 relative Natural Colour (NC)
 lab*lrj 0.64 0.0 -0.499
 lab*nce 0.75 0.5 0.754
 lab*nce 0.0 0.5 0.996

relative Inform. Technology (IT)
 obv^*_3 0.25 0.276 0.75 (1.0)
 cmv^*_2 0.75 0.526 1.0 (0.0)
 ov^*_4 0.25 0.526 1.0 1.0
 cmv^*_4 0.75 0.474 0.0 (0.0)
 standard and adapted CIELAB
 LAB*LAB 53.65 0.74 -35.81
 LAB*LABa 53.65 0.92 -37.75
 LAB*TCHa 62.5 37.77 271.4

relative CIELAB lab*
 lab*lab 0.46 0.018 -0.749
 lab*ch 0.625 0.75 0.754
 lab*nch 0.0 0.75 0.754
 relative Natural Colour (NC)
 lab*lrj 0.46 0.0 -0.749
 lab*nce 0.625 0.75 0.754
 lab*nce 0.0 0.75 0.996

relative Inform. Technology (IT)
 obv^*_3 0.0 0.636 1.0 (1.0)
 cmv^*_2 1.0 0.367 1.0 (0.0)
 ov^*_4 0.0 0.367 1.0 1.0
 cmv^*_4 1.0 0.633 0.0 0.0
 standard and adapted CIELAB
 LAB*LAB 39.73 1.32 -49.33
 LAB*LABa 39.73 1.23 -50.34
 LAB*TCHa 50.0 50.36 271.41

relative CIELAB lab*
 lab*lab 0.381 0.025 -0.998
 lab*ch 0.5 1.0 0.754
 lab*nch 0.0 1.0 0.754
 relative Natural Colour (NC)
 lab*lrj 0.381 0.0 -0.999
 lab*nce 0.5 1.0 0.754
 lab*nce 0.0 1.0 0.999

relative Inform. Technology (IT)
 obv^*_3 0.0 0.211 0.018 -0.749
 cmv^*_2 1.0 0.724 0.25 (0.0)
 ov^*_4 0.25 0.526 1.0 0.75
 cmv^*_4 0.75 0.474 0.0 0.25
 standard and adapted CIELAB
 LAB*LAB 34.3 0.93 -37.75
 LAB*LABa 34.3 0.93 -37.75
 LAB*TCHa 37.51 37.77 271.41

relative CIELAB lab*
 lab*lab 0.211 0.018 -0.749
 lab*ch 0.375 0.75 0.754
 lab*nch 0.25 0.75 0.754
 relative Natural Colour (NC)
 lab*lrj 0.211 0.0 -0.749
 lab*nce 0.211 0.75 0.754
 lab*nce 0.25 0.75 0.996

relative Inform. Technology (IT)
 obv^*_3 0.0 0.0 0.0 (1.0)
 cmv^*_2 1.0 0.908 0.75 (0.0)
 ov^*_4 1.0 1.0 1.0 0.0
 cmv^*_4 0.0 0.0 0.0 1.0
 standard and adapted CIELAB
 LAB*LAB 18.02 0.5 -0.46
 LAB*LABa 18.02 0.0 0.0
 LAB*TCHa 0.01 0.01 -

relative CIELAB lab*
 lab*lab 0.0 0.0 0.0
 lab*ch 0.0 0.0 0.0
 lab*nch 1.0 0.0 0.0
 relative Natural Colour (NC)
 lab*lrj 0.0 0.0 0.0
 lab*nce 0.0 0.0 -
 lab*nce 1.0 0.0 -

$n^* = 1.0$

relative Inform. Technology (IT)
 obv^*_3 0.25 0.434 0.75 (1.0)
 cmv^*_2 0.75 0.684 1.0 0.75
 ov^*_4 0.5 0.842 1.0 0.75
 cmv^*_4 0.5 0.316 0.0 0.25
 standard and adapted CIELAB
 LAB*LAB 67.57 0.17 -22.28
 LAB*LABa 67.57 0.61 -25.16
 LAB*TCHa 75.0 25.18 271.4

relative CIELAB lab*
 lab*lab 0.64 0.012 -0.499
 lab*ch 0.75 0.5 0.754
 lab*nch 0.0 0.5 0.754
 relative Natural Colour (NC)
 lab*lrj 0.64 0.0 -0.499
 lab*nce 0.75 0.5 0.754
 lab*nce 0.0 0.5 0.996

relative Inform. Technology (IT)
 obv^*_3 0.25 0.276 0.75 (1.0)
 cmv^*_2 0.75 0.526 1.0 (0.0)
 ov^*_4 0.25 0.526 1.0 1.0
 cmv^*_4 0.75 0.474 0.0 (0.0)
 standard and adapted CIELAB
 LAB*LAB 53.65 0.74 -35.81
 LAB*LABa 53.65 0.92 -37.75
 LAB*TCHa 62.5 37.77 271.4

relative CIELAB lab*
 lab*lab 0.46 0.018 -0.749
 lab*ch 0.625 0.75 0.754
 lab*nch 0.0 0.75 0.754
 relative Natural Colour (NC)
 lab*lrj 0.46 0.0 -0.749
 lab*nce 0.625 0.75 0.754
 lab*nce 0.0 0.75 0.996

relative Inform. Technology (IT)
 obv^*_3 0.0 0.636 1.0 (1.0)
 cmv^*_2 1.0 0.367 1.0 (0.0)
 ov^*_4 0.0 0.367 1.0 1.0
 cmv^*_4 1.0 0.633 0.0 0.0
 standard and adapted CIELAB
 LAB*LAB 39.73 1.32 -49.33
 LAB*LABa 39.73 1.23 -50.34
 LAB*TCHa 50.0 50.36 271.41

relative CIELAB lab*
 lab*lab 0.381 0.025 -0.998
 lab*ch 0.5 1.0 0.754
 lab*nch 0.0 1.0 0.754
 relative Natural Colour (NC)
 lab*lrj 0.381 0.0 -0.999
 lab*nce 0.5 1.0 0.754
 lab*nce 0.0 1.0 0.999

relative Inform. Technology (IT)
 obv^*_3 0.0 0.211 0.018 -0.749
 cmv^*_2 1.0 0.724 0.25 (0.0)
 ov^*_4 0.25 0.526 1.0 0.75
 cmv^*_4 0.75 0.474 0.0 0.25
 standard and adapted CIELAB
 LAB*LAB 34.3 0.93 -37.75
 LAB*LABa 34.3 0.93 -37.75
 LAB*TCHa 37.51 37.77 271.41

relative CIELAB lab*
 lab*lab 0.211 0.018 -0.749
 lab*ch 0.375 0.75 0.754
 lab*nch 0.25 0.75 0.754
 relative Natural Colour (NC)
 lab*lrj 0.211 0.0 -0.749
 lab*nce 0.211 0.75 0.754
 lab*nce 0.25 0.75 0.996

relative Inform. Technology (IT)
 obv^*_3 0.0 0.0 0.0 (1.0)
 cmv^*_2 1.0 0.908 0.75 (0.0)
 ov^*_4 1.0 1.0 1.0 0.0
 cmv^*_4 0.0 0.0 0.0 1.0
 standard and adapted CIELAB
 LAB*LAB 18.02 0.5 -0.46
 LAB*LABa 18.02 0.0 0.0
 LAB*TCHa 0.01 0.01 -

relative CIELAB lab*
 lab*lab 0.0 0.0 0.0
 lab*ch 0.0 0.0 0.0
 lab*nch 1.0 0.0 0.0
 relative Natural Colour (NC)
 lab*lrj 0.0 0.0 0.0
 lab*nce 0.0 0.0 -
 lab*nce 1.0 0.0 -

$n^* = 1.0$

TG400-7, 5 stufige Reihen für konstanten CIELAB Buntton 271/360 = 0.754 (links)

5 stufige Reihen für konstanten CIELAB Buntton 271/360 = 0.754 (rechts)

BAM-Prüfvorlage TG40; Farbmeter-Systeme ORS18 & MRS18input: $olv^* setrgbcolor$

D65: 5stufige Farbreihen und Koordinaten-Daten für 10 Bunttöneoutput: $olv^* setrgbcolor / w^* setgray$

Siehe ähnliche Dateien: <http://www.ps.bam.de/TG40/>
 Technische Information: <http://www.ps.bam.de> Version 2.1, io=1.1, CIEXYZ

BAM-Registrierung: 20060101-T